

UNIVERSIDADE FEDERAL DE SÃO CARLOS
CENTRO DE CIÊNCIAS EXATAS E DE TECNOLOGIA
DEPARTAMENTO DE FÍSICA

VITOR APARECIDO TRALDI

**ESTUDO DA DEFORMAÇÃO DE PEROVSKITAS DE HALETOS COM
ORGANOMETÁLICOS ATRAVÉS DO CÁLCULO DO NÚMERO DE
COORDENAÇÃO DO SÍTIO B**

São Carlos, SP
2024

UNIVERSIDADE FEDERAL DE SÃO CARLOS
CENTRO DE CIÊNCIAS EXATAS E DE TECNOLOGIA
DEPARTAMENTO DE FÍSICA

VITOR APARECIDO TRALDI

**ESTUDO DA DEFORMAÇÃO DE PEROVSKITAS DE HALETO COM
ORGANOMETÁLICOS ATRAVÉS DO CÁLCULO DO NÚMERO DE COORDENAÇÃO
DO SÍTIO B**

Trabalho de conclusão de curso submetido ao Curso de Engenharia Física da Universidade Federal de São Carlos como parte dos requisitos necessários para a obtenção do grau de Bacharel em Engenharia Física.

Orientador: Prof. Dr. Matheus Paes Lima

São Carlos, SP
2024

Agradecimentos

Antes de mais nada gostaria de agradecer pela vida, por poder ter o privilégio de estar encerrando esse ciclo que muitos nem sequer puderam tentar ou tiveram que interromper.

Gostaria de agradecer imensamente aos meus pais que são a minha base, se estou aqui hoje é por causa deles, sempre fizeram de tudo para eu ter o que eles não tiveram, sempre estiveram ao meu lado me apoiando e sempre foram exemplo de pessoas. Pai, mãe nós conseguimos, Amo muito vocês.

Gostaria de agradecer a minha noiva que passou todo esse processo ao meu lado vibrando durante as conquistas e sendo meu porto seguro durante as dificuldades. Sem você eu não teria conseguido, te amo.

Gostaria de fazer um agradecimento especial ao professor Matheus por ter aceito ser meu orientador e me proporcionado todo suporte necessário para o desenvolvimento do trabalho. Além do Natan e Lucas que me ajudaram durante o desenvolvimento do projeto. Foi um prazer ter essa troca com vocês.

Gostaria também de agradecer meus amigos que compartilharam os dias e as dificuldades comigo e que me ajudaram muito a viver tudo isso. O último agradecimento vai à minha avó que faleceu pouco antes de eu ingressar no curso e que cuidou de mim quando era pequeno. Se o mundo tivesse mais pessoas como ela tudo seria melhor. Prometi a ela que iria formar e hoje estou cumprindo isso. Um beijo e um abraço enorme para a senhora e para o vô sinto muita saudade de vocês.

Por fim gostaria de deixar uma frase dita por minha mãe que levo para a vida. Independente da situação em que estamos vivendo lembre-se a gente só não dá jeito para morte.

"A gente só não dá jeito para a morte"
(Ana Celia)

Resumo

O crescimento da demanda energética aliado ao impacto ambiental causado pelas fontes fósseis desencadeou grande demanda e estudo de fontes alternativas limpas e renováveis, principalmente a solar. Neste contexto, o desenvolvimento de dispositivos de conversão de energia solar buscam novos materiais para compor as células fotovoltaicas, dentre os quais as perovskitas têm ganhado atenção devido a sua diversidade, baixo custo de produção, e propriedades optoeletrônicas superiores, possibilitando uma alta eficiência de conversão de energia. As propriedades optoeletrônicas das perovskitas estão intimamente relacionadas com distorções estruturais, e ser capaz de explorar essas distorções permite um entendimento mais profundo desses materiais. Devido à estrutura peculiar das perovskitas, que possuem fórmula química ABX_3 . Um sistema cúbico ideal, sem distorções, apresenta coordenação 6 no sítio B, sendo este um valor superior de referência. Baseado nisso, este trabalho explora a coordenação no sítio B como forma de quantificar as deformações estruturais das perovskitas. Especificamente, foi implementado três métodos diferentes para o Número de Coordenação, a saber, CN, ECN e ECN_{av} , e comparado os resultados mutuamente para um conjunto de Perovskitas de Haleto com Organometálicos disponíveis em um banco de dados de domínio público. Os resultados mostraram que o CN é totalmente dependente e sensível ao fator de corte p , não sendo apropriado para comparar diferentes sistemas entre si, uma vez que não há uma forma de definir este fator univocamente. Em contrapartida, o ECN e ECN_{av} possuem resultados próximos e compatíveis entre si. Entretanto, o método ECN_{av} possui uma leve tendência a gerar resultados mais próximos do valor ideal (6). Por outro lado, o ECN resulta em uma distribuição mais homogênea. Essas diferenças se justificam pela forma algébrica específica de cada implementação. De fato, o ECN_{av} mostrou-se um método superior por ser livre de parâmetros externos, ou seja, não limita-se ao número de vizinhos considerados, e define a distância média através de um cálculo autoconsistente, diferentemente do ECN que restringe-se aos seis primeiros vizinhos.

Palavras-chave: Demanda Energética. Fontes Alternativas. Perovskitas de Haleto com Organometálicos. Distorções Estruturais. Número de Coordenação.

Abstract

The growth in energy demand, coupled with the environmental impact caused by fossil fuel sources, has triggered a significant demand for and study of clean and renewable alternative sources, particularly solar energy. In this context, the development of solar energy conversion devices has been seeking new materials to compose photovoltaic cells, among which perovskites have gained attention due to their diversity, low production cost, and superior optoelectronic properties, enabling high energy conversion efficiency. The optoelectronic properties of perovskites are closely related to structural distortions, and being able to explore these distortions allows for a deeper understanding of these materials. Due to the peculiar structure of perovskites, which have a chemical formula of ABX_3 , an ideal cubic system without distortions presents a coordination number of 6 at the B site, which serves as a higher reference value. Based on this, this work explores the coordination at the B site as a way to quantify the structural deformations of perovskites. Specifically, three different methods for the coordination number were implemented, namely CN, ECN, and ECN_{av} , and the results were compared among them for a set of Organometal Halide Perovskites available in a public domain database. The results showed that CN is entirely dependent on and sensitive to the cutoff factor p , making it unsuitable for comparing different systems, as there is no way to define this factor unambiguously. In contrast, ECN and ECN_{av} have similar and compatible results. However, the ECN_{av} method tends to generate results closer to the ideal value (6), while ECN results in a more homogeneous distribution. These differences are justified by the specific algebraic form of each implementation. In fact, ECN_{av} proved to be a superior method as it is free from external parameters, meaning it is not limited to the number of neighbors considered and defines the average distance through a self-consistent calculation, unlike ECN, which is restricted to the first six neighbors.

Keywords: Energetic Demand. Alternative Sources. Organometal Halide Perovskites. Structural Distortions. Coordination Number.

Lista de Ilustrações

Figura 1.1 – Célula unitária e estrutura tridimensional da perovskita ideal. Fonte: (YI et al., 2019).	3
Figura 1.2 – Variações na estrutura da perovskita. Fonte: Adaptado de (MAYRINCK; FONSECA; SCHIAVON, 2020).	3
Figura 1.3 – Estruturas MHPs. Fonte: (ZHOU; ZHAO, 2019).	4
Figura 1.4 – Distorções da estrutura ideal. (Ideal) - Estrutura cúbica ideal, (1) - Deslocamento dos cátions, (2) - Distorção dos octaedros, (3) - Inclinação dos octaedros. Fonte: Adaptado de (ARMIENTO et al., 2014).	5
Figura 1.5 – Estrutura cristalina em função do Fator de tolerância. Fonte: Adaptado de (YI et al., 2019).	6
Figura 1.6 – Representação do octaedro.	7
Figura 2.1 – Estrutura cúbica de face centrada. Fonte: (KITTEL, 2006).	8
Figura 3.1 – Coordenação para os diferentes métodos, com segmentação por ânion X e indicação do íon B em função da perovskita. Para as 10 estruturas selecionadas.	15
Figura 3.2 – Distância para cada ânion X, com segmentação por método em função da perovskita. Para as 10 estruturas selecionadas.	16
Figura 3.3 – Frequência de coordenação global para cada metodologia em estudo. Para todas as estruturas do banco de dados.	17
Figura 3.4 – Frequência de coordenação global para cada íon B, com segmentação por metodologia em estudo. Para todas as estruturas do banco de dados.	18
Figura 3.5 – Frequência de coordenação global para cada ânion X, com segmentação por metodologia em estudo. Para todas as estruturas do banco de dados.	19
Figura 3.6 – Visualização da deformação estrutural em perovskitas com coordenações distantes. Fonte: (MOMMA; IZUMI, 2011).	20
Figura C.1 – CN - 5%.	63
Figura C.2 – CN - 10%.	64
Figura C.3 – CN - 20%.	65
Figura C.4 – CN - 30%.	66
Figura C.5 – ECN.	67
Figura C.6 – ECN_{av}	68

Lista de Tabelas

Tabela 3.1 – Lista de perovskitas representativas do conjunto. Fonte: (CASTELLI et al., 2014).	13
Tabela A.1 – Perovskitas presentes no banco de dados. Parte 1.	26
Tabela A.2 – Perovskitas presentes no banco de dados. Parte 2.	27
Tabela A.3 – Perovskitas presentes no banco de dados. Parte 3.	28
Tabela A.4 – Perovskitas presentes no banco de dados. Parte 4.	29
Tabela A.5 – Perovskitas presentes no banco de dados. Parte 5. Fonte: (CASTELLI et al., 2014).	30

Lista de Abreviaturas e Siglas

ABNT	Associação Brasileira de Normas Técnicas
DF	Departamento de Física
UFSCAR	Universidade Federal de São Carlos
CN	Coordenation Number (Número de Coordenação)
ECN	Effective Coordination Number (Número de Coordenação Efetivo)
ECN _{av}	Effective Coordination Number Average (Número de Coordenação Efetivo Médio)
PVK	Perovskita
UFV	Usinas Fotovoltaicas
EPE	Empresa de Pesquisa Energética
MHPs	Metal Halide Perovskites (Perovskitas de haleto com Metal)
PSCs	Perovskite Solar Cells (Células solares de perovskita)
CFC	Estrutura cúbica de face centrada
ASE	Atomic Simulation Environment (Ambiente de Simulação Atômica)
VESTA	Visualization for Electronic and Structural Analysis (Visualização para Análise Eletrônica e Estrutural)

Sumário

1	Introdução	1
1.1	Motivação e Justificativa	1
1.2	Revisão da Literatura	2
1.2.1	Estrutura das Perovskitas	2
1.2.2	Perovskitas de Haleto com Metal	4
1.2.3	Distorções em Perovskitas	4
1.2.4	Número de Coordenação como Forma de Medir as Distorções em Perovskitas	6
1.3	Objetivo	7
2	Metodologia	8
2.1	Introdução ao Número de Coordenação	8
2.1.1	Número de Coordenação (CN)	9
2.1.2	Número de Coordenação Efetivo (ECN)	9
2.1.3	Número de Coordenação Efetivo Médio (ECN_{av})	10
2.1.4	Banco de Dados de Perovskitas de Haleto com Organometálicos	11
2.1.5	Jupyter Notebook	11
2.1.6	Implementação do Código	12
3	Resultados e Discussão	13
4	Conclusão	21
	Referências	22
	Apêndices	25
	APÊNDICE A Perovskitas	26
	APÊNDICE B Códigos	31
	B.0.1 Bibliotecas	31
	B.0.2 Função Distância Mínima	31
	B.0.3 CN	33
	B.0.4 ECN	39
	B.0.5 ECN_{av}	49
	APÊNDICE C Gráficos	62
	C.0.1 Barras Empilhadas	62

1 Introdução

1.1 Motivação e Justificativa

O uso demasiado de fontes fósseis para suprimento da demanda energética ocorre desde o século XVIII com a revolução industrial. Todavia, estes recursos experimentam uma cadente diminuição em suas reservas além de outros fatores conflitantes como: a degradação do meio ambiente, riscos à saúde humana, debates políticos e questões econômicas. Devido a esses fatores e outros mais, nas últimas décadas o incremento de fontes de energia alternativas tem se tornado gradativamente necessário. Em face a esses pontos, a energia solar acaba ganhando forte destaque por: ser considerada uma fonte limpa, abundante e viabilizar a geração de energia em lugares remotos (LONGO; PAOLI, 2003).

Nos últimos anos, a matriz energética brasileira passou a incorporar mais intensamente fontes de energia renovável. Incentivos governamentais facilitaram a popularização de usinas fotovoltaicas (UFV), cogeração de energia por biomassa e geradores eólicos, impulsionados pela busca por fontes de energia limpa e pela redução de custos decorrentes da evolução tecnológica no setor. Apesar da alta disponibilidade de luz solar no Brasil e dos incentivos governamentais, a energia fotovoltaica ainda representa uma pequena parte da matriz energética nacional, com apenas 2,47% (6.703 MW) da capacidade instalada (Empresa de Pesquisa Energética (EPE), 2022). No entanto, o interesse por UFVs aumentou significativamente a partir de 2018, impulsionado pela redução dos custos e pela implementação de políticas de geração distribuída. Investimentos têm sido feitos tanto na construção de grandes UFVs quanto na expansão da microgeração fotovoltaica para residências, pequenas empresas e áreas rurais. Porém, o alto custo e a baixa flexibilidade das células fotovoltaicas de silício têm limitado sua popularização. Entre as tecnologias emergentes, as células de perovskita destacam-se como uma alternativa promissora. Elas podem ser fabricadas por métodos de impressão em larga escala, o que reduz custos e consumo de energia. Além disso, essas células podem ser construídas em substratos leves e flexíveis, adequados para várias aplicações, como coberturas, automóveis, janelas e dentro de construções, convertendo a luz das lâmpadas em energia elétrica (IoT). Além disso, a produção por sinterização química reduz significativamente os custos em comparação aos módulos de silício cristalino convencionais. Apesar de todos esses pontos, vale ressaltar que essas células apresentam fatores limitantes em seu uso, principalmente, relacionados à instabilidade e toxicidade (com o Pb por exemplo) (SILVA, 2012).

A utilização de perovskitas (PVK) em células fotovoltaicas destaca-se também devido a alta eficiência na conversão energética. Para se ter uma ideia, em junho de 2024 foi estabelecido um novo recorde de eficiência de 34,6% em testes controlados, enquanto que em 2022 esse valor era por volta de 25%. Já os painéis de silício altamente comercializados apresentam uma

eficiência que varia entre 16% e 20% (SILVA, 2012; LONGI, 2024; JONES, 2024). A primeira aplicação de PVK's em células solares ocorreu em 2009, com uma eficiência de conversão de 3,8% (RAPHAEL et al., 2018). Este rápido aumento motivou grande parte da comunidade científica para explorar diferentes possibilidades desta aplicação, incluindo ligas e compósitos de perovskita.

É importante ressaltar que as perovskitas, em geral, possuem a fórmula química ABX_3 , onde A é um cátion monovalente, B é um cátion bivalente, e X é um haleto (Cl, Br ou I). Sua estrutura cristalina ideal é análoga à do $CaTiO_3$, com uma célula cúbica que possui gaiolas octaédricas BX_6 interconectadas (mais detalhes nas próximas seções). Entretanto, essa estrutura pode sofrer deformações, como rotações entre os octaedros e flutuações nos comprimentos das ligações químicas. Pesquisas recentes mostram que essas deformações estão intimamente relacionadas às propriedades optoeletrônicas das perovskitas. Este trabalho busca quantificar essas distorções através da coordenação do sítio B. Este estudo representa um passo relevante para o entendimento das perovskitas, uma vez que as quantificações das distorções apresentadas aqui podem ser úteis em estudos futuros que correlacionem essas distorções com outras propriedades.

1.2 Revisão da Literatura

1.2.1 Estrutura das Perovskitas

"Descobertas por Gustav Rose, em 1839, as perovskitas representam uma classe de materiais com características únicas que hoje estão revelando inúmeras e versáteis aplicações em uma ampla gama de dispositivos tecnológicos"(RAPHAEL et al., 2018, apud GIORGI; YAMASHITA, 2015). O termo perovskita é utilizado para se referir a um grande grupo de compostos que possuem uma estrutura cristalina semelhante à do mineral perovskita $CaTiO_3$. A fórmula geral das perovskitas é ABX_3 , onde A e B representam cátions, e X é um ânion. Os cátions na posição A são geralmente maiores e mais eletropositivos em comparação com os cátions na posição B, enquanto o sítio X é comumente ocupado por íons óxido (O_2^-) ou íons haletos (Cl^- , Br^- , F^-) (PETROVIĆ; CHELLAPPAN; RAMAKRISHNA, 2015).

A estrutura cúbica é um cristal ideal de PVK com grupo espacial Pm-3m, onde o cátion B possui seis ânions X como átomos mais próximos, e o cátion A possui doze ânions X mais próximos (PEÑA; FIERRO, 2001).

As perovskitas são divididas em dois grupos: **Perovskitas organometálicas**: Neste grupo, o cátion na posição A é monovalente, como metilamônio [$CH_3NH_3^+$] ou formamidínio [$CH(NH_2)_2^+$]; o cátion na posição B é um metal de transição, como chumbo [Pb_2^+] ou estanho [Sn_2^+]; e o ânion na posição X é um haleto, geralmente iodo [I-], bromo [Br-] ou cloro [Cl-], ou uma mistura desses haletos. **Perovskitas inorgânicas**: Neste grupo, o sítio A é normalmente ocupado por um metal do grupo I ou II, o sítio B por um metal de transição, e o sítio X por um

ânion (LIMA, 2021).

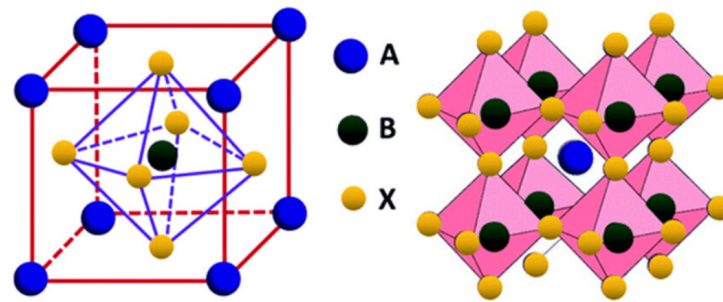


Figura 1.1 – Célula unitária e estrutura tridimensional da perovskita ideal. Fonte: (YI et al., 2019).

Algumas variações da estrutura ideal são conhecidas, representando as fases: ortorrômbica, romboédrica e tetragonal, como mostrado na figura 1.2. Essas estruturas distorcidas podem existir à temperatura ambiente, mas em altas temperaturas transformam-se em estruturas cúbicas, podendo passar por várias etapas intermediárias com fases distorcidas. Essas mudanças podem resultar de uma simples distorção da célula cúbica, de uma ampliação da mesma, ou de ambas (PEÑA; FIERRO, 2001).

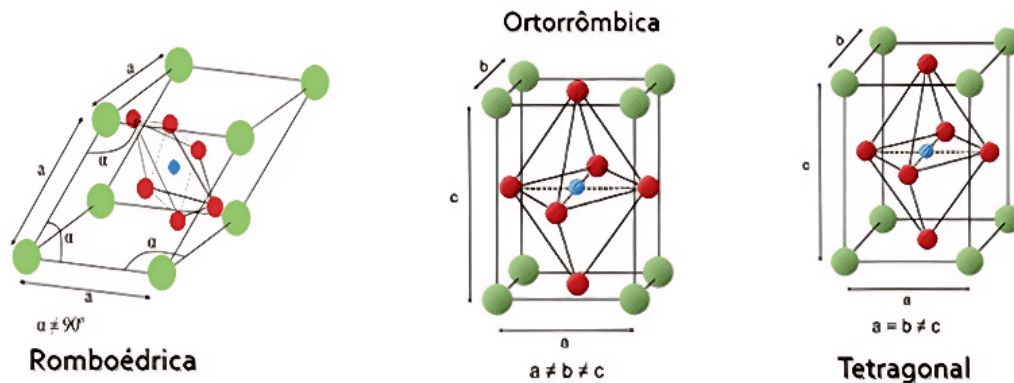


Figura 1.2 – Variações na estrutura da perovskita. Fonte: Adaptado de (MAYRINCK; FONSECA; SCHIAVON, 2020).

A formação da perovskita segue uma reação química que pode ser resumida como:



Onde A, B e X são íons que compõem as perovskitas híbridas. Um exemplo comum na literatura é a reação entre os precursores PbI_2 e $\text{CH}_3\text{NH}_3\text{I}$, que resulta em $\text{CH}_3\text{NH}_3\text{PbI}_3$ (conhecido como MAPbI_3). Com a facilidade de alterar os materiais das camadas dos dispositivos, a arquitetura e montagem das células solares foram modificadas, visando obter células mais eficientes e estáveis (MAYRINCK; FONSECA; SCHIAVON, 2020).

1.2.2 Perovskitas de Haleto com Metal

As Perovskitas de Haleto com Metal (MHPs) têm sido amplamente estudadas na última década devido ao seu grande potencial como semicondutores para dispositivos optoeletrônicos de alta performance, especialmente em células solares. As células solares de perovskita (PSCs) já alcançaram uma eficiência de conversão de energia superior a 25%. Este rápido avanço sugere uma revolução na tecnologia fotovoltaica de terceira geração. As MHPs possuem propriedades optoeletrônicas notáveis, como alto coeficiente de absorção, bandgap ajustável entre 400 e 800 nm, longo comprimento de difusão de portadores de carga (cerca de 1 μm) e alta condutividade de portadores de carga. O interesse por essas perovskitas também se deve à sua fabricação a partir de soluções com precursores baratos e abundantes. A versatilidade química das MHPs permite uma ampla gama de propriedades estruturais, ópticas e eletrônicas, resultantes de processos físico-químicos complexos durante a síntese. Além dos dispositivos fotovoltaicos, as propriedades ajustáveis das MHPs permitem aplicações em LEDs, fotodetectores e lasers (ZHAN et al., 2022).

As MHPs diferem de seus equivalentes convencionais de calcogeneto, que possuem grandes cátions bivalentes (por exemplo, Ca_2^+ , Sr_2^+) no sítio A, pequenos cátions tetravalentes (por exemplo, Ti_4^+ , Zr_4^+) no sítio B e ânions de oxigênio no sítio X. Em contraste, as estruturas das MHPs incluem cátions monovalentes no sítio A, cátions metálicos bivalentes no sítio B e ânions de halogênio no sítio X (ZHAN et al., 2022).

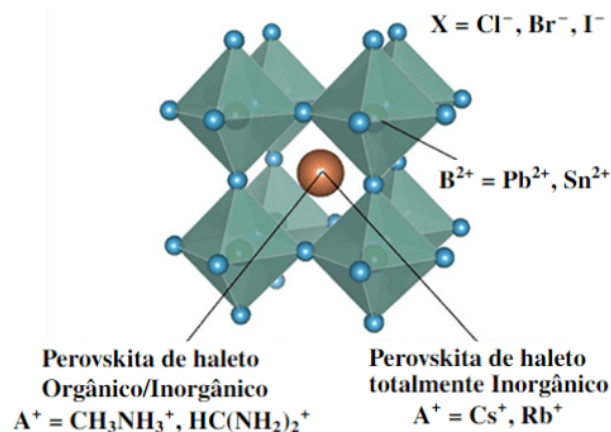


Figura 1.3 – Estruturas MHPs. Fonte: (ZHOU; ZHAO, 2019).

1.2.3 Distorções em Perovskitas

Embora as perovskitas ABX_3 tenham simetria cúbica em altas temperaturas, a maioria delas perde essa simetria em baixas temperaturas devido a deslocamentos atômicos. As distorções da estrutura ideal podem ocorrer de três maneiras: inclinação dos octaedros, distorções dos octaedros e deslocamentos dos cátions. A inclinação, que ocorre ao variar o raio iônico do sítio A, geralmente afeta mais os parâmetros da rede. Já as distorções dos octaedros são causadas pelo efeito Jahn-Teller (GOODENOUGH, 2004).

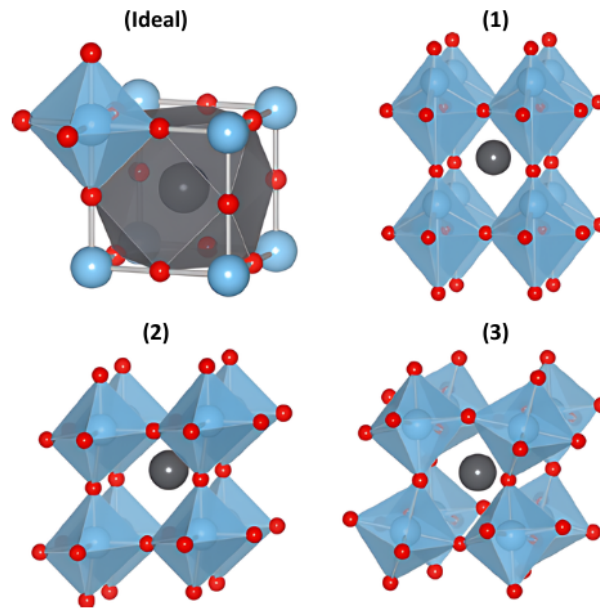


Figura 1.4 – Distorções da estrutura ideal. (Ideal) - Estrutura cúbica ideal, (1) - Deslocamento dos cátions, (2) - Distorção dos octaedros, (3) - Inclinação dos octaedros. Fonte: Adaptado de (ARMIENTO et al., 2014).

Estruturas do tipo perovskita são caracterizadas pela disposição BX_3 estável. Caso B apresente um raio (r_B) que seja menor que $0,51 \text{ \AA}$, a separação B-X ideal não é atingida e consequentemente o arranjo se estabilizará em uma estrutura que apresente Número de Coordenação aniônica reduzido. Ao adicionar um cátion grande a este arranjo, uma distorção é gerada ao mesmo, levando à estrutura adotar outros grupos espaciais. Além disso, por haver um comprimento de ligação A-X ideal, uma estabilidade diferente é visualizada. Dessa forma, para avaliar os limites aceitáveis para o tamanho do cátion A, Goldschmidt formulou o fator de tolerância (PEREZ, 2000). O fator de tolerância é definido por:

$$t = \frac{(r_A + r_X)}{\sqrt{2}(r_B + r_X)}$$

onde, r_A , r_X e r_B são os raios teóricos dos íons.

Devido à sua geometria, a estrutura cúbica ideal tem um fator de tolerância $t = 1$. Assim, o fator de tolerância mede o quanto uma estrutura se desvia dessa configuração ideal. Estruturas do tipo perovskita geralmente ocorrem dentro do intervalo de 0,75 a 1,00 para t . No entanto, esse intervalo não é uma condição suficiente por si só, pois os cátions A e B também devem ser estáveis em suas respectivas coordenações octaédricas e dodecaédricas. Essa configuração reduz os enlaces para o raio iônico; em óxidos, esses enlaces correspondem a $r_A > 0,9 \text{ \AA}$ e $r_B > 0,8 \text{ \AA}$. O valor de t a pressão e temperatura ambiente pode ser calculado a partir da soma dos raios iônicos, conforme tabelas empíricas. No entanto, o comprimento de ligação de equilíbrio A-X e B-X apresenta compressibilidade e expansão térmica diferentes. Por isso, o valor ideal de $t = 1$ só é alcançado em condições específicas de temperatura e pressão (PEREZ, 2000).

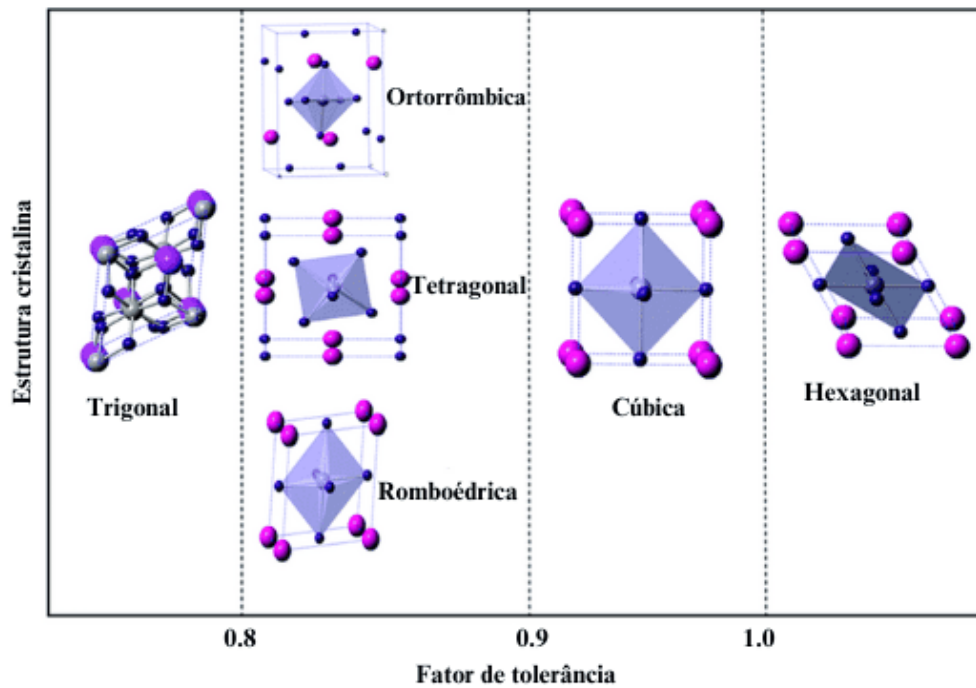


Figura 1.5 – Estrutura cristalina em função do Fator de tolerância. Fonte: Adaptado de (YI et al., 2019).

Outro aspecto importante para avaliar a estabilidade de uma perovskita é o fator octaédrico, que é calculado com base na relação entre os raios iônicos do cátion B e do ânion X. Para que o octaedro formado por esses íons seja estável, o valor do fator octaédrico deve estar entre 0,414 e 0,732 (QUEVEDO, 2022, apud LI; SOH; WU, 2004). O fator octaédrico é definido por:

$$\mu = \frac{r_B}{r_X}$$

1.2.4 Número de Coordenação como Forma de Medir as Distorções em Perovskitas

As perovskitas de haleto apresentam uma estrutura flexível, devido ao íon haleto que forma pontes duplas (B-X-B). Isso permite diversas transições estruturais e distorções nos octaedros quando há aplicação de pressão ou mudanças de temperatura. Esses fatores causam inclinações e distorções nos octaedros com baixo custo energético, facilitando múltiplas transições de fase nas perovskitas ABX_3 (DIAS; LIMA; SILVA, 2021).

Dada a estrutura ideal da perovskita ABX_3 . É possível observar que o octaedro é formado por um elemento central do sítio B envolto pelos elementos do sítio X. Se estes elementos envoltos apresentam a mesma distância de ligação com o átomo central temos um estrutura simétrica ou cúbica. Caso essas distâncias sejam divergentes ocorre o que conhecemos como distorção do octaedro. Dessa forma, podemos obter estruturas como a tetragonal, ortorrômbica e romboédrica conforme apresentado na Seção 1.2.1.

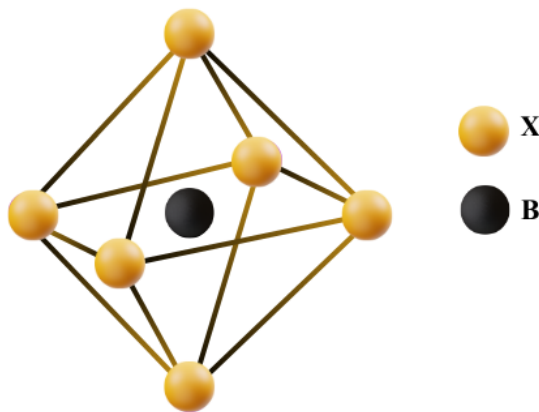


Figura 1.6 – Representação do octaedro.

Tendo em vista a relevância destas distâncias interatômicas na distorção dos octaedros, inicia-se a utilização do Número de Coordenação como forma de quantificar essas distorções visto que ele parte do seguinte princípio: dado um átomo central o Número de Coordenação representa o número de átomos vizinhos que o circundam dado um raio de corte que normalmente acaba sendo a distância interatômica entre o átomo central e o vizinho mais próximo. Dentre as estruturas já mencionadas no trabalho, a cúbica, ao qual é chamada de ideal, apresenta coordenação igual a 6. As demais estruturas apresentam coordenação diferente a 6 com amplo range de variação.

Todavia, como será visto nos próximos capítulos, o Número de Coordenação (CN) é limitado e como forma de aperfeiçoar novos métodos mais requintados foram desenvolvidos para determinação, como o Número de Coordenação Efetivo (ECN) e o Número de Coordenação Efetivo Médio (ECN_{av}). A aplicação desses métodos juntamente ao estudo da distorção podem ser encontrados em: (DIAS; LIMA; SILVA, 2021) com o estudo do "Papel das fases estruturais e distorções de octaedros nas propriedades optoeletrônicas e excitônicas de perovskitas $CsGeX_3$ ($X = Cl, Br, I$)" e (DANELON et al., 2024) ao discutir o "Contraste da estabilidade, distorções octaédricas e propriedades optoeletrônicas de 3D $MABX_3$ e 2D $(BA)_2(MA)B_2X_7$ ($B = Ge, Sn, Pb$; $X = Cl, Br, I$) perovskitas".

1.3 Objetivo

Apesar de todos os estudos e trabalho já apresentados na literatura. Uma análise mais ampla (com maior número de materiais e outras metodologias para o cálculo da coordenação) poderá demonstrar o potencial emprego da coordenação na descrição das distorções de perovskitas, que pode ser útil em trabalhos futuros e melhor difundido no meio científico, principalmente, nos estudos teóricos de perovskita.

Dessa forma, busca-se analisar com este trabalho a aplicação das técnicas conhecidas/abordadas junto ao cálculo da coordenação (CN, ECN e ECN_{av}) para o maior número de perovskitas possíveis. Comparando seus resultados e discutindo suas eficiências, tendências e limitações.

2 Metodologia

2.1 Introdução ao Número de Coordenação

Embora o modelo atômico quântico ofereça uma compreensão mais rica das interações eletrônicas e da natureza dos átomos. Para a definição do conceito de número de coordenação utiliza-se o modelo de esferas rígidas por contribuir na visualização e análise das estruturas, especialmente em contextos onde a geometria e as interações espaciais são mais relevantes.

Segundo [MULLER \(1994\)](#), o Número de Coordenação de um átomo especificado em uma espécie química é o número de outros átomos ligados diretamente a esse átomo. Por exemplo, o Número de Coordenação do carbono no metano é quatro, e é cinco no metano protonado.

De acordo com [HELMENSTINE \(2019\)](#), o Número de Coordenação de um átomo em uma molécula é o número de átomos ligados a esse átomo. Na química e na cristalografia, o Número de Coordenação descreve o número de átomos vizinhos em relação a um átomo central.

Em física do estado sólido, o conceito de "Número de Coordenação"(CN) é empregado para indicar quantos átomos ou grupos estão ligados a um átomo. É essencial destacar que o Número de Coordenação é relevante em diversas estruturas químicas que envolvem ligações, abrangendo moléculas, complexos de íons metálicos e arranjos cristalinos de sólidos ([CHEMISTRYTALK, s.d.](#)).

Com ele é possível compreender o empacotamento e o arranjo estrutural dos átomos em um cristal. Por exemplo, em uma estrutura cúbica de face centrada (cfc), cada átomo está rodeado por 12 vizinhos mais próximos, resultando em um Número de Coordenação de 12. Esse número afeta diretamente propriedades como densidade, ponto de fusão e resistência mecânica do material.

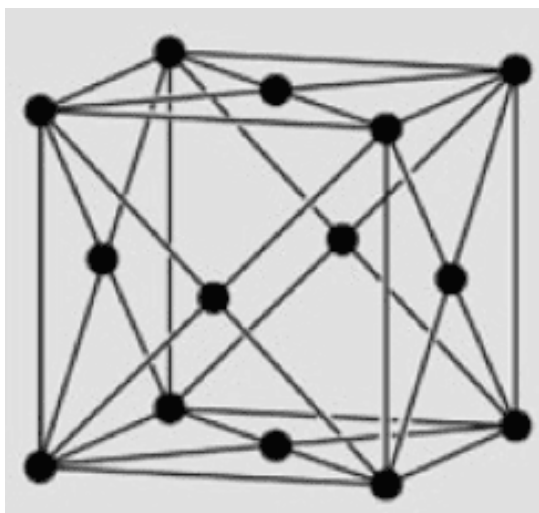


Figura 2.1 – Estrutura cúbica de face centrada. Fonte: ([KITTEL, 2006](#)).

Diversos fatores influenciam o Número de Coordenação, incluindo características dos íons metálicos e dos ligantes. O tamanho e a forma dos ligantes são determinantes, com ligantes maiores geralmente resultando em Números de Coordenação menores. O tamanho do íon metálico também é crucial, pois íons maiores podem acomodar mais ligantes, aumentando o número de coordenação. Além disso, a configuração eletrônica do íon metálico é significativa, já que certas configurações preferem Números de Coordenação específicos para estabilizar as energias eletrônicas. É importante considerar as interações intermoleculares, que no estado sólido ocorrem entre complexos vizinhos e em solução entre o complexo e as moléculas do solvente, resultando em diferentes Números de Coordenação e estruturas dependendo do estado (LANDSKRON, s.d.).

2.1.1 Número de Coordenação (CN)

Para determinar o Número de Coordenação dado um átomo (X) e suas espécies vizinhas (X'), inicialmente defini-se o raio de corte, fator para determinar quais átomos são vizinhos a um átomo, como:

$$R_{\text{cut}}(X, X') = D_{\text{min}}(X, X') \times (1 + p) \quad (2.1)$$

onde, $D_{\text{min}}(X, X')$ é a distância mínima entre o átomo da espécie (X) e os átomos vizinhos de espécie (X') e p , porcentagem manualmente definida, representa as possíveis flutuações nas distâncias interatômicas entre as espécies. Vale ressaltar que essas flutuações podem ocorrer devido a fatores como: vibrações térmicas, pressão externa, efeitos quânticos, desordem estrutural entre outros.

Definido o raio de corte, é possível obter o CN através da expressão:

$$CN_i(X, X') = \left(\sum_{j|D(X^i, X'^{(j)}) \leq R_{\text{cut}}(X, X')} 1 \right) \quad (2.2)$$

Ou seja, dado um átomo de índice i , seu Número de Coordenação será o somatório de todas as distâncias entre o par de espécie ($X X'$) que forem menor e iguais ao raio de corte.

2.1.2 Número de Coordenação Efetivo (ECN)

O Número de Coordenação representa o total de átomos ligados a um átomo central em um poliedro de coordenação. Entretanto, em poliedros de coordenação que são relativamente distorcidos, descrever a coordenação do átomo central por meio de um único número pode ser um desafio (MOMMA; IZUMI, 2008).

Ainda conforme MOMMA; IZUMI (2008), diversas metodologias são sugeridas para determinar o Número de Coordenação Médio ou "Efetivo"(ECN). Essas metodologias, somam todos os átomos ao redor usando um esquema de ponderação. Nesse esquema, os átomos circundantes não são contados como inteiros, mas como frações, com valores variando entre 0 e

1. Assim, conforme aumenta-se a distância entre átomo central e circundante o número varia inversamente tendendo a zero. Dessa forma, o ECN é definido como apresentado a seguir.

Primeiramente, determina-se a distância média ponderada entre os pares de espécie, considerando os 6 primeiros vizinhos.

$$D_{av}(X, X') = \frac{\sum_{ij} D(X^i, X'^j) e^{\left[1 - \left(\frac{D(X^i, X'^j)}{D_{\min}(X, X')}\right)^6\right]}}{\sum_{ij} e^{\left[1 - \left(\frac{D(X^i, X'^j)}{D_{\min}(X, X')}\right)^6\right]}} \quad (2.3)$$

onde, $D_{\min}(X, X')$ é a distância mínima entre o átomo central da espécie X e os 6 primeiros átomos vizinhos de espécie X' e $D(X, X'^j)$ é a distância entre o átomo central de índice i da espécie X e o átomo vizinho de índice j e espécie X' .

Após determinar a distância média ponderada, O ECN é obtido pela seguinte expressão:

$$ECN_i(X, X') = \sum_j e^{\left[1 - \left(\frac{D(X^i, X'^j)}{D_{av}(X, X')}\right)^6\right]} \quad (2.4)$$

2.1.3 Número de Coordenação Efetivo Médio (ECN_{av})

Segundo (SILVA, 2011), o conceito padrão de coordenação, atribui um peso ($W_{XX'} = 1,0$) para todos os comprimentos de ligação entre um átomo central e os átomos circundantes ($D_{XX'}$) que estejam dentro de um determinado parâmetro de corte (D_{cut}). Desse modo, o Número de Coordenação é obtido ao contar os comprimentos de ligação que são menores que esse parâmetro (D_{cut}), resultando em valores inteiros. Este conceito é facilmente aplicável a estruturas simétricas, onde o parâmetro (D_{cut}) pode ser estabelecido com base nas distâncias dos vizinhos mais próximos (NNs). Em contraste, no conceito de coordenação efetiva, um peso diferente é calculado para cada comprimento de ligação ($D_{XX'}$) usando uma função de peso, ou seja, ($W_{XX'} \neq 1,0$) para todos os pares XX' .

Essa abordagem fundamenta-se na observação de que um átomo X específico forma ligações mais fortes com os átomos X' mais próximos. Assim, ajustes sutis nos ambientes de coordenação podem ser considerados. Todos os valores de $W_{XX'}$ são calculados em relação ao comprimento de ligação ponderado pelo átomo, $D_{av,i}$, que deve ser determinado para cada átomo X . Como exemplo, se os comprimentos de ligação forem menores (ou maiores) que o comprimento de ligação ponderado local, D_{av} , contribuirão com valores de $W_{XX'}$ maiores (ou menores) que a unidade. Sendo assim, o Número de Coordenação Efetivo average (ECN_{av}) para um átomo específico X (ECN_i) será calculado pela soma de todos os pesos $W_{XX'}$, e, conseqüentemente, pode não resultar em um número inteiro. Tornando, dessa forma, aplicável a estruturas tanto simétricas quanto distorcidas (SILVA, 2011).

Para esta abordagem, será utilizado função exponencial de sexta potência buscando aferir o ECN_i para todos os átomos. Função essa, que tem seus primórdios na química orgânica e foi rigorosamente avaliada para as redes de Bravais mais comuns no trabalho apresentado por [SILVA \(2011\)](#).

Como para o ECN, inicialmente determina-se a distância média. Porém diferentemente do método anterior este não limita-se apenas aos 6 primeiros vizinhos.

$$D_{av}(X, X') = \frac{\sum_{ij} D(X^i, X'^j) e^{\left[1 - \left(\frac{D(X^i, X'^j)}{D_{av}(X, X')}\right)^6\right]}}{\sum_{ij} e^{\left[1 - \left(\frac{D(X^i, X'^j)}{D_{av}(X, X')}\right)^6\right]}} \quad (2.5)$$

Além disso, este cálculo é autoconsistente. Dessa forma, é atribuído $D_{av}(X, X')$ igual a $D_{min}(X, X')$ do lado direito da equação e obtido o valor correspondente de $D_{av}(X, X')$. Obtido o primeiro valor de $D_{av}(X, X')$ inicia-se a autoconsistência, até que a seguinte relação seja satisfeita:

$$|D_{av}^{new}(X, X') - D_{av}^{old}(X, X')| < 0,00010 \quad (2.6)$$

Satisfeita a relação, O ECN_{av} de uma dado átomo X , índice i e X' vizinhos, é obtido por:

$$ECN_i(X, X') = \sum_j e^{\left[1 - \left(\frac{D(X^i, X'^j)}{D_{av}(X, X')}\right)^6\right]} \quad (2.7)$$

2.1.4 Banco de Dados de Perovskitas de Haleto com Organometálicos

Todas perovskitas analisadas durante o desenvolvimento deste trabalho advém de um banco de dados denominado [Organometal Halide Perovskites](#).

Como descrito na página que disponibiliza os dados, para a criação do banco, foi realizado cálculos de estrutura eletrônica de 240 perovskitas compostas de Cs, CH_3NH_3 e $HC(NH_2)_2$ como cátion A, Sn e Pb como íon B e uma combinação de Cl, Br e I como ânions ([CASTELLI et al., 2014](#)). Vale ressaltar que através deste conjunto de dados é possível obter informações de bandgap indireto, bandgap direto, grupo espacial, simetria, fórmula, vetores de rede entre outras. Portanto, a técnica de explorar bancos de dados com algum fim específico pode ser empregada para outras finalidades.

2.1.5 Jupyter Notebook

Para criação do código desenvolvido neste trabalho foi utilizado o [Jupyter](#). De acordo com [DATABRICKS \(2024\)](#), ele é "um aplicativo da web de código aberto usado principalmente por cientistas de dado para criar e compartilhar documentos contendo códigos ao vivo, fórmulas

e outros recursos multimídia". Além disso, sua utilização abrange várias atividades de análise de dados, como análise exploratória, limpeza e transformação de dados, visualização, modelagem estatística, aprendizado de máquina e deep learning.

Vale ressaltar que a ferramenta possibilita a criação de documentos dinâmicos que incluem não apenas códigos, mas também textos formatados, imagens, gráficos e equações matemáticas. Esses documentos podem ser compartilhados para permitir a colaboração de múltiplos usuários, seja por meio de repositórios no [GitHub, Inc.](#) ou pelo serviço online Jupyter Notebook Viewer ([CARDOSO, 2023](#)).

2.1.6 Implementação do Código

Inicialmente foi escolhido um banco de dados que dispusesse número considerável de perovskitas e propriedades físico-químicas para análise. Determinado o conjunto de dados, o primeiro método a ser implementado foi o CN que é o mais simples e de maior aplicação na literatura. Na sequência, foi implementado o método ECN e por fim o ECN_{av}.

Para manipulação e obtenção dos dados advindos do banco, foi utilizado linguagem python e algumas bibliotecas como: [ASE](#) (ase.db, ase.io, scipy.spatial, ase.geometry), Numpy, dentre outras.

De modo geral, os códigos leem as informações de cada perovskita presente no banco, extraem informações relevantes como: símbolos, átomos e vetores de rede; fazem a classificação do que é A, B e X; determinam os vizinhos e suas respectivas distâncias a partir da célula unitário; e calculam a coordenação, de acordo com cada abordagem, como apresentado nas seções [2.1.1](#), [2.1.2](#) e [2.1.3](#).

Os códigos completos, juntamente com os comentários relevantes para o entendimento, estão disponíveis no apêndice na seção [B](#).

3 Resultados e Discussão

Neste capítulo serão apresentados, interpretados e analisados todos os resultados alcançados com a aplicação dos métodos para as perovskitas disponíveis no banco de dados utilizado.

Devido ao elevado número de perovskitas examinadas e à consequente dificuldade durante a plotagem e apresentação gráfica, foram selecionadas 10 perovskitas que fossem representativas do montante presente no conjunto de dados, para realização de algumas análises mais detalhadas. A seleção foi baseada na coordenação, de acordo com os valores encontrados nos três métodos, de forma a incluir representantes de todas as coordenações encontradas nos materiais em estudo.

As perovskitas selecionadas para algumas análises trazidas neste capítulo estão disponíveis na tabela a seguir. O acesso a todas disponíveis no banco pode ser encontrado no apêndice do trabalho na seção A.

Índice	Perovskita
1	PbBrCl_2Cs
2	PbIBrClCs
3	$\text{SnCl}_3\text{CH}_5\text{N}_2$
4	$\text{Br}_{12}\text{Pb}_4\text{NH}_3\text{CH}_3\text{NH}_3\text{CH}_3\text{NH}_3\text{CH}_3\text{NH}_3\text{CH}_3$
5	$\text{Br}_2\text{Cl}_4\text{Br}_2\text{I}_4\text{Pb}_4\text{CH}_5\text{N}_2\text{CH}_5\text{N}_2\text{CH}_5\text{N}_2\text{CH}_5\text{N}_2$
6	$\text{I}_8\text{Br}_4\text{CH}_5\text{N}_2\text{CH}_5\text{N}_2\text{CH}_5\text{N}_2\text{CH}_5\text{N}_2\text{Sn}_4$
7	$\text{I}_{12}\text{CH}_5\text{N}_2\text{CH}_5\text{N}_2\text{CH}_5\text{N}_2\text{CH}_5\text{N}_2\text{Sn}_4$
8	$\text{I}_4\text{Cl}_8\text{CH}_5\text{N}_2\text{CH}_5\text{N}_2\text{CH}_5\text{N}_2\text{CH}_5\text{N}_2\text{Sn}_4$
9	$\text{CH}_5\text{N}_2\text{CH}_5\text{N}_2\text{CH}_5\text{N}_2\text{CH}_5\text{N}_2\text{I}_8\text{Cl}_4\text{Pb}_4$
10	$\text{CH}_5\text{N}_2\text{CH}_5\text{N}_2\text{CH}_5\text{N}_2\text{CH}_5\text{N}_2\text{I}_4\text{Br}_4\text{Cl}_4\text{Sn}_4$

Tabela 3.1 – Lista de perovskitas representativas do conjunto. Fonte: (CASTELLI et al., 2014).

Na figura 3.1 é possível observar o valor da coordenação para cada PVK descrita acima considerando os três diferentes métodos, além do elemento que ocupa o sítio B do material e o valor da coordenação ideal (6) para perovskitas sem deformação estrutural. Vale ressaltar que o cálculo do CN foi feito levando em consideração 4 diferentes valores do parâmetro p , ou seja, 5%, 10%, 20% e 30%. A mesma visualização para todos os materiais do banco está disponível no apêndice do trabalho na seção C.

Analisando os resultados da imagem 3.1, nota-se grande variação no método CN para os diferentes valores de p . Conforme aumenta-se o parâmetro maior se torna o raio de corte, mais átomos são considerados como ligados ao átomo central e consequentemente maior será o Número de Coordenação. Esse comportamento pode ser visualizado, principalmente, nas estruturas 4, 5 e 9. Evidenciando-se o quão dependente e sensível o método se mostrou para com este fator, principalmente para PVK com deformação estrutural (coordenação diferente a 6). Vale ressaltar que este comportamento discutido estende-se para as demais estruturas não citadas.

Os métodos ECN e ECN_{av} , de maneira geral, apresentaram valores semelhantes, com uma leve tendência de coordenação maior para o ECN_{av} , especialmente em perovskitas com deformações, exceto para a PVK 4 com maior divergência. Sem depender de definições ou ajustes adicionais manuais. Essa maior coordenação é justificada por o ECN limitar-se aos primeiros vizinhos na determinação das distâncias fazendo com que sejam consideradas distâncias de ligação um pouco menores do que as obtidas pelo ECN_{av} .

Além disso, as perovskitas 1 e 2 mostraram coordenação próximas à 6 em todas as variações e metodologias empregadas. O que também foi possível constatar nas demais PVK's não abordadas. Reforçando assim, que para estruturas simétricas os 3 métodos apresentam resultados válidos para aferição das distorções.

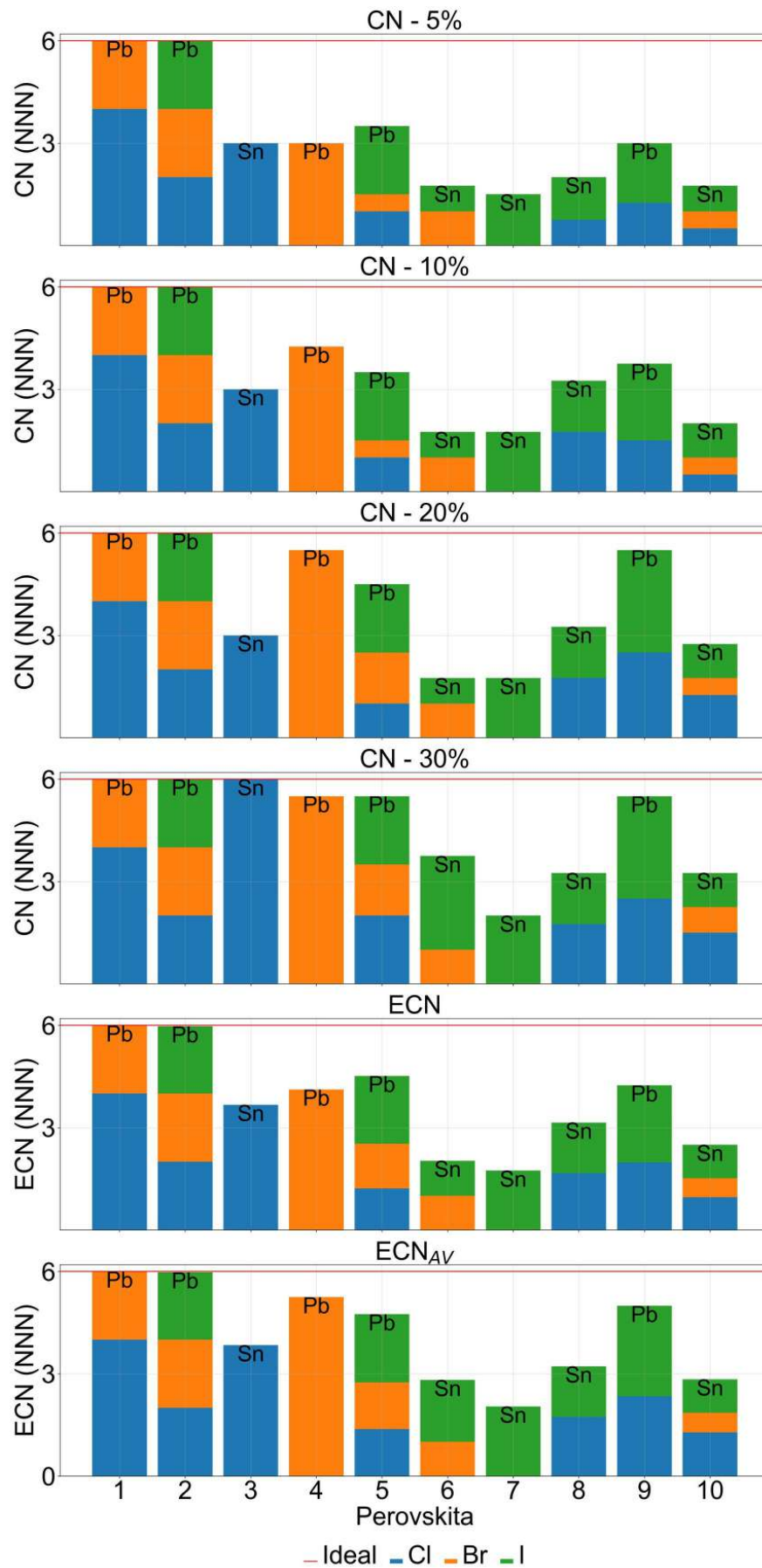


Figura 3.1 – Coordenação para os diferentes métodos, com segmentação por ânion X e indicação do íon B em função da perovskita. Para as 10 estruturas selecionadas.

Ainda com os 10 casos, através da figura 3.2 é possível verificar a diferença entre as distâncias calculadas em cada expressão. Os espaços vazios nos gráficos demonstram que a perovskita em questão não apresenta o elemento em sua composição. Além do mais, os gráficos presentes na imagem em razão dos elementos do sítio X (Cl, Br e I) podem ser justificados por cada elemento do sítio ter uma respectiva distância. Assim, por exemplo, a perovskita 1 tem em sua composição Cl e Br e consequentemente duas distâncias diferentes. Enquanto que a 4 apenas uma.

Os três métodos se mostraram consistentes e próximos na determinação das distâncias com uma pequena alteração para o ECN_{av} que pode ser justificada pela forma como são determinadas essas distâncias. Para o CN é utilizado a distância mínima entre o átomo central e os vizinhos, no ECN é feita uma média ponderada considerando os seis primeiros vizinhos e no ECN_{av} também é feita uma média ponderada porém não limitando-se aos primeiros vizinhos e realizando um cálculo autoconsistente até a relação 2.6 ser satisfeita.

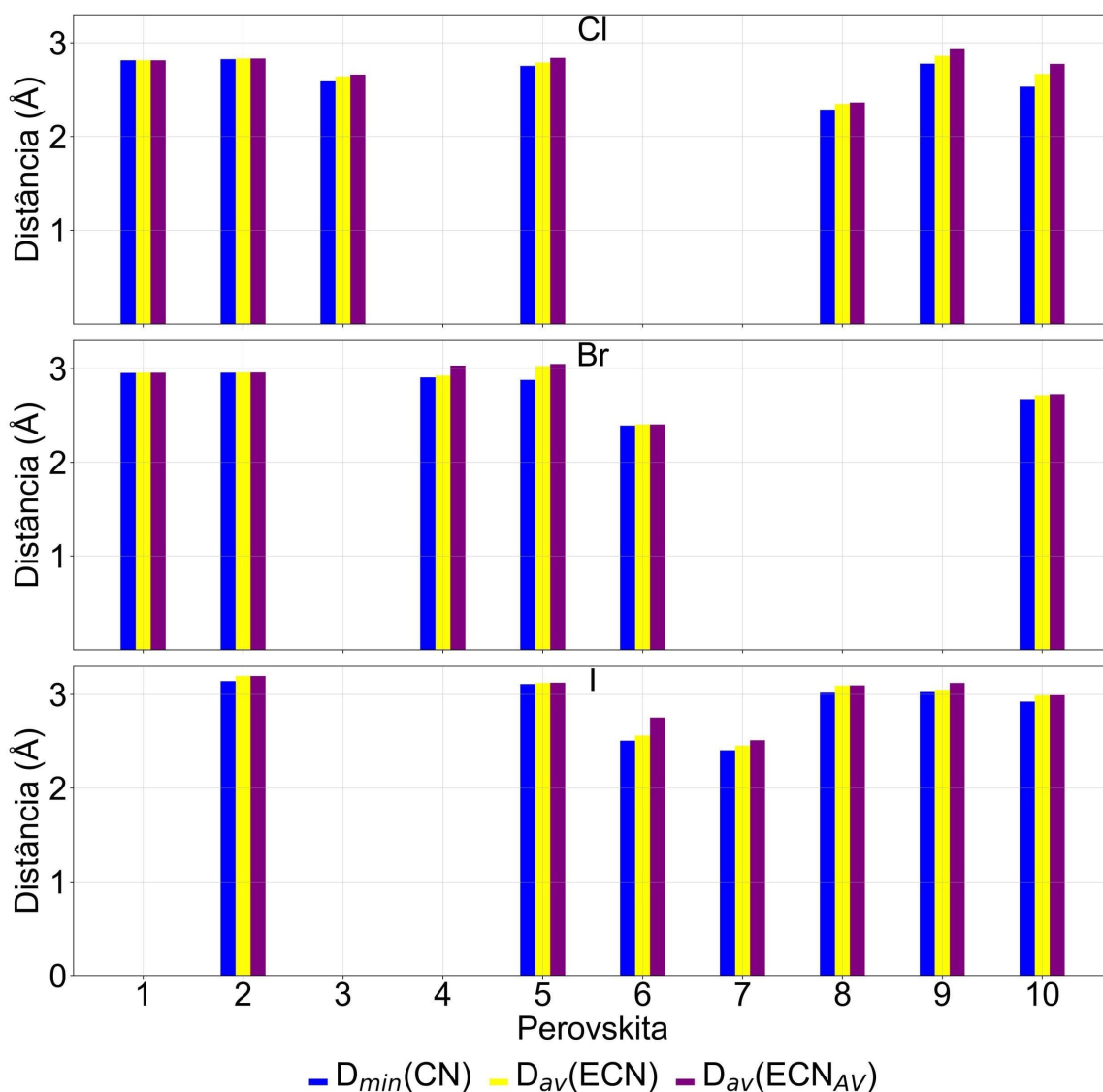


Figura 3.2 – Distância para cada ânion X, com segmentação por método em função da perovskita. Para as 10 estruturas selecionadas.

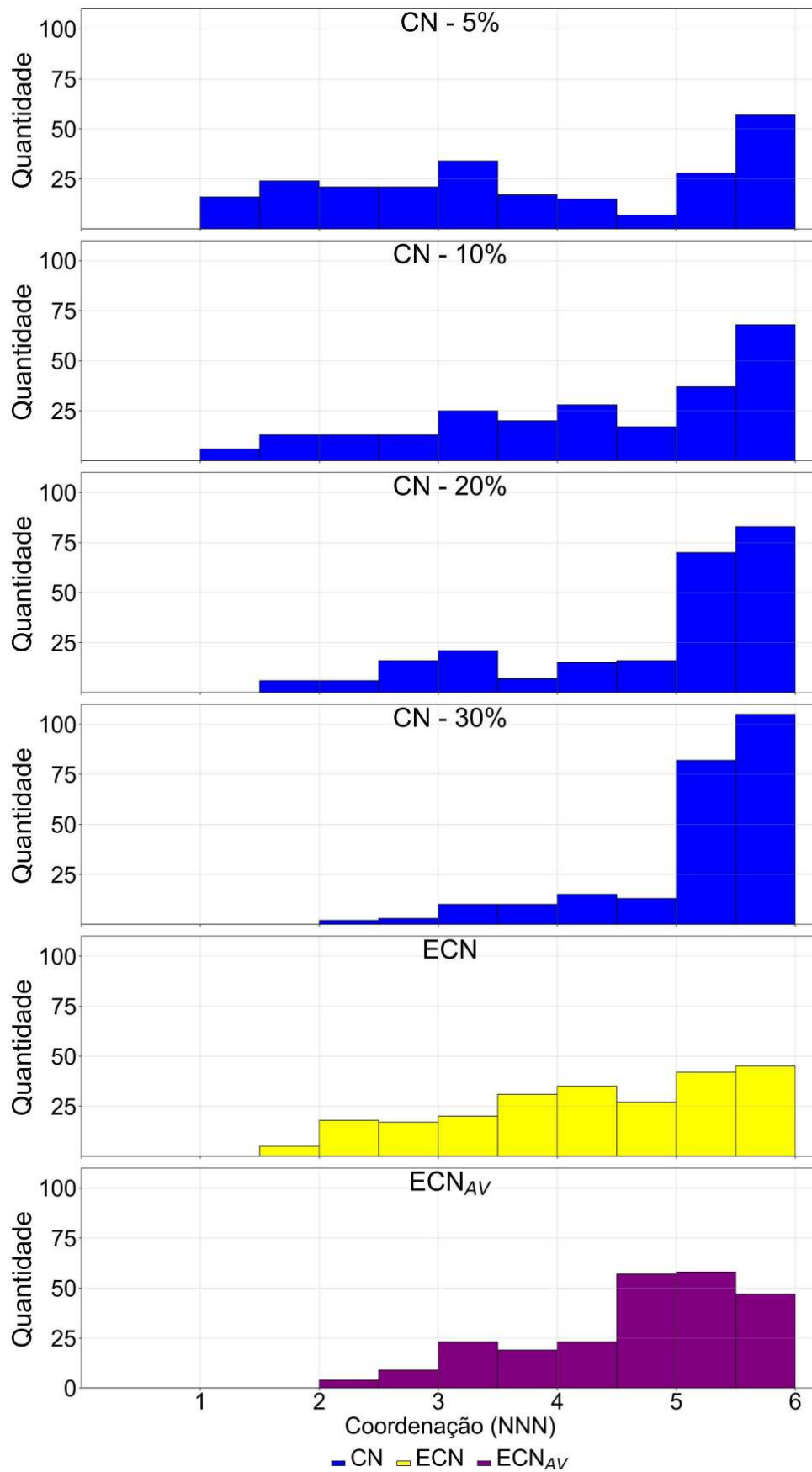


Figura 3.3 – Frequência de coordenação global para cada metodologia em estudo. Para todas as estruturas do banco de dados.

A imagem 3.3 ilustra a frequência de coordenação para cada método levando em consideração todas as 240 perovskitas presentes no banco de dados. Analisando os quatro primeiros gráficos que contemplam o CN é possível verificar o aumento da coordenação junto ao aumento da porcentagem. Comparando as porcentagens 5% e 30% respectivamente, nota-se que a primeira apresenta coordenação mínima igual a 1 enquanto que a segunda igual a 2. Ao ser analisado também a quantidade entre o intervalo 5-6, para ambas as porcentagens, observa-se quantidade próxima a 75 para a primeira e 180 para a segunda. Reforçando desse modo, a idéia levantada anteriormente da sensibilidade/dependência do método ao parâmetro p .

Olhando os outros dois métodos (ECN e ECN_{av}) constata-se que ambos apresentam uma certa similaridade entre as distribuições, no entanto o ECN_{av} tem maior concentração no intervalo de 4,5-6 e maior coordenação mínima começando em 2 enquanto que o ECN tem certa homogeneidade na distribuição das coordenações e coordenação mínima menor começando em 1,5. Quantificando desta forma a diferença presente nos métodos apresentada anteriormente.

As duas ilustrações que seguem (3.4 e 3.5) também demonstram a frequência de coordenação para cada método. Contudo, diferentemente da figura 3.3, agora a segmentação é feita por íon B (3.4) e ânion X (3.5).

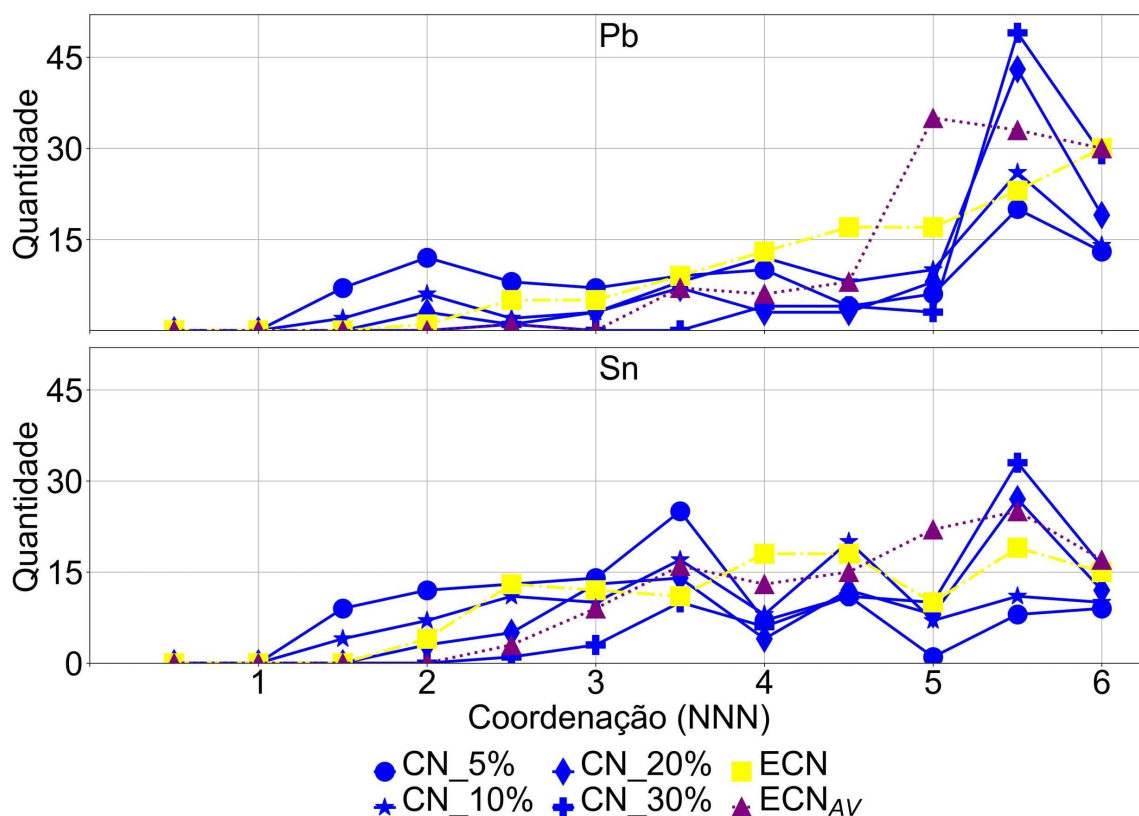


Figura 3.4 – Frequência de coordenação global para cada íon B, com segmentação por metodologia em estudo. Para todas as estruturas do banco de dados.

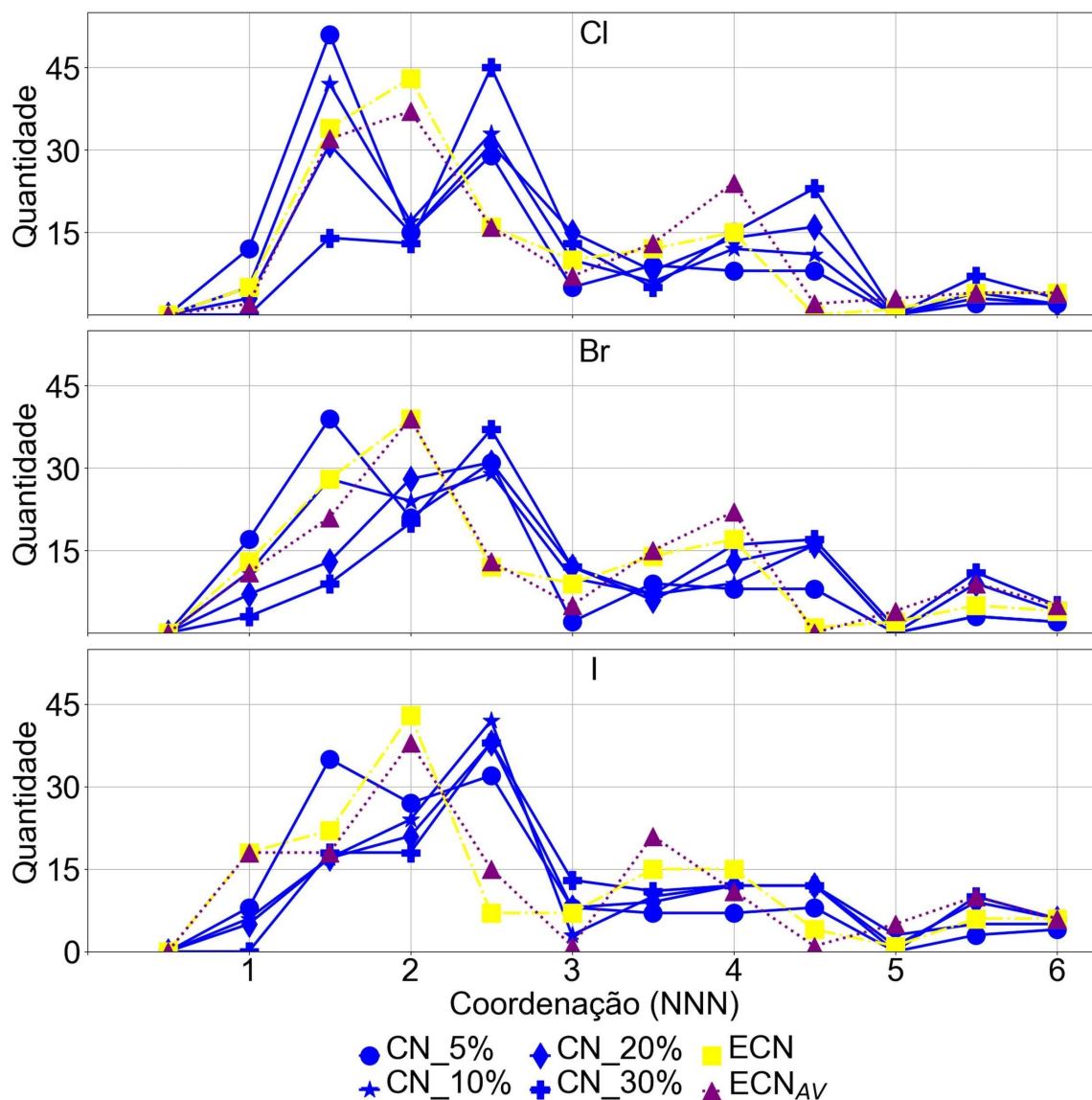


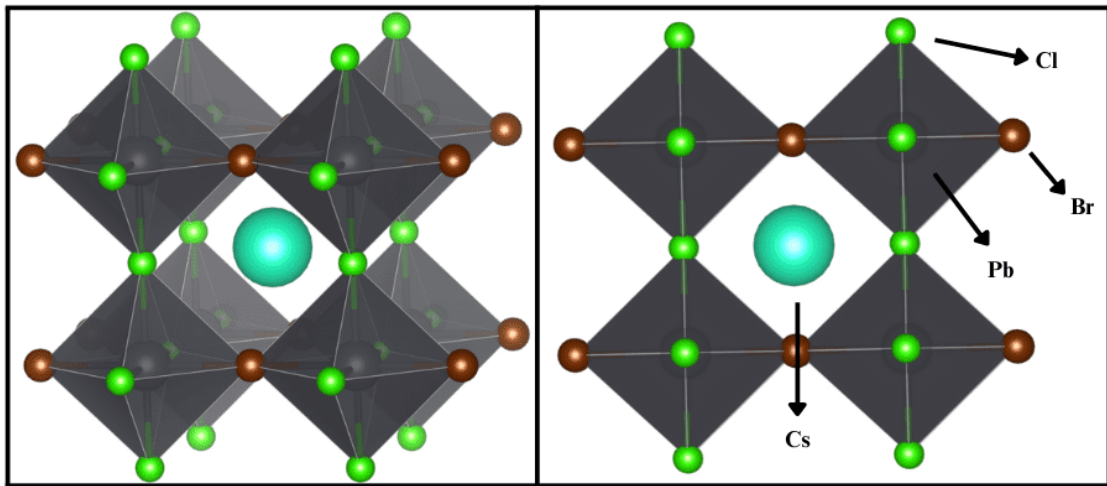
Figura 3.5 – Frequência de coordenação global para cada ânion X, com segmentação por metodologia em estudo. Para todas as estruturas do banco de dados.

Averiguando-as, foi possível constatar que as perovskitas com íon B = Pb apresentaram maior concentração de coordenação entre 5-6 enquanto que as com íon B = Sn demonstram valores de coordenação mais homogeneamente distribuídos. Com isso, percebe-se que o chumbo tende a gerar octaedros mais estáveis que o estanho.

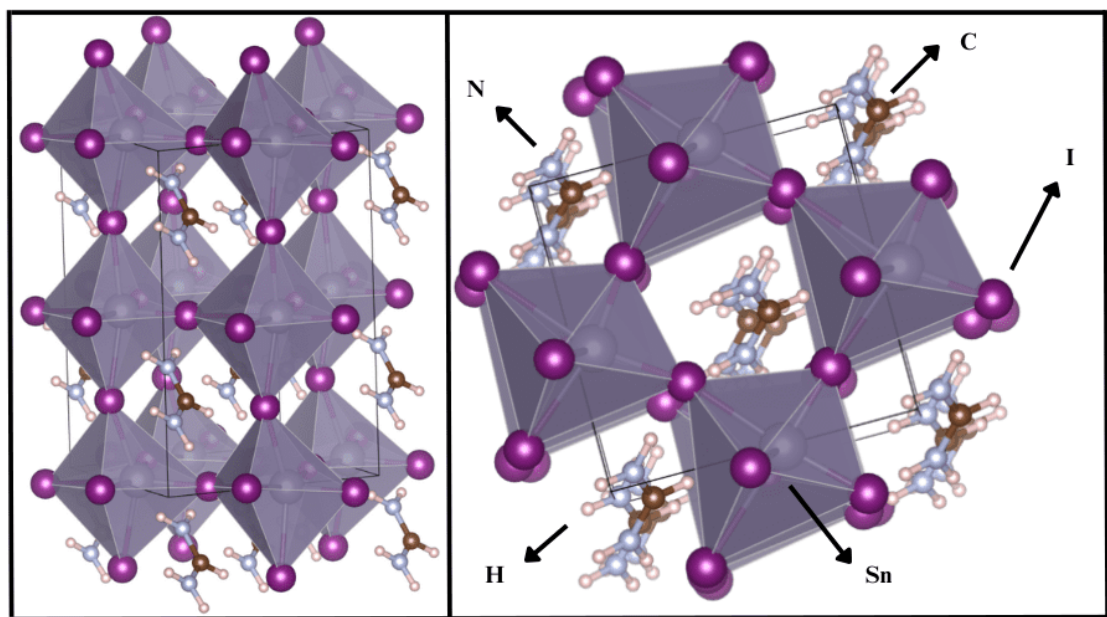
Além disso, os resultados obtidos quando feita a quebra por ânion X se demonstraram uniformes para os três elementos (Cl, Br, I). Atestando desse jeito, que o fator central para determinação das deformações não é o sítio X mas sim o sítio B.

Por fim, temos nas imagens 3.6a e 3.6b a visualização estrutural obtida através do software VESTA (MOMMA; IZUMI, 2011) para uma perovskita com coordenação próxima a 6 e outra próxima a 2 respectivamente. Ambas as perovskitas fazem parte das 10 selecionadas para as visões iniciais, logo é possível visualizar o comportamento das distâncias além da coordenação. Além disso, é possível pontuar que a perovskita com coordenação 2 apresenta considerável

deformação em sua estrutura enquanto que a com 6 grande simetria. Esses resultados ressaltam o emprego da coordenação do sítio B como forma de demonstrar deformações na estrutura.



(a) Perovskita PbBrCl_2Cs com coordenação próxima a 6 e respectiva vista superior.



(b) Perovskita $\text{I}_{12}\text{CH}_5\text{N}_2\text{CH}_5\text{N}_2\text{CH}_5\text{N}_2\text{CH}_5\text{N}_2\text{Sn}_4$ com coordenação próxima a 2 e respectiva vista superior.

Figura 3.6 – Visualização da deformação estrutural em perovskitas com coordenações distantes.
Fonte: (MOMMA; IZUMI, 2011).

4 Conclusão

Neste trabalho, foi empregado três metodologias com formulações matemáticas distintas no estudo das distorções em perovskitas de haleto com organometálicos presentes em um banco de dados. São elas; CN, ECN e ECN_{av} . A primeira, e mais encontrada na literatura, determina a coordenação como sendo o número de átomos próximos a um átomo central dentro de uma distância limite (raio de corte) que é determinada manualmente e depende de um parâmetro (p). Não preocupando-se assim com as diferentes distâncias de ligação e seus impactos.

As demais metodologias, ECN e ECN_{av} respectivamente, surgem na tentativa de melhor quantificar as distorções encontradas nos materiais considerando os diferentes comprimentos de ligação encontrados entre os pares de espécie através da adição de uma função peso a eles. No entanto, a primeira limita-se os cálculos aos 6 primeiros vizinhos enquanto que a segunda não limita-se e apresenta um processo autoconsistente em sua aferição.

Com isso, foi possível demonstrar que: (i) De maneira geral, as três metodologias permitem a detecção de distorções em perovskitas, contudo o valor da coordenação em cada abordagem difere consideravelmente entre elas. (ii) O CN é a metodologia mais limitada visto que possui um parâmetro em porcentagem p que afeta significativamente o valor final para uma mesma estrutura. Ao final de sua análise notou-se $p = 20\%$ como um bom parâmetro, em relação aos valores encontrados quando comparado aos demais métodos, para estudo de perovskitas. (iii) Os valores das distâncias médias B-X são quase equivalentes nas metodologias ECN e ECN_{av} respectivamente. Com leve maior valor para a segunda. Entretanto, resultam em coordenações distintas como resultado de diferentes formulações matemáticas. (iv) As abordagens, ECN e ECN_{av} , demonstraram atender ao objetivo central de detectar distorções. Apesar desta última formulação ser mais sofisticada, e não limitar o número de vizinhos considerados na determinação da coordenação de cada átomo.

Por fim, vale ressaltar, a técnica utilizada neste trabalho, nomeadamente, explorar bancos de dados disponíveis com uma finalidade específica, pode ser expandida para outros estudos. Por exemplo, explorar correlações entre diferentes propriedades (estruturais, óticas, eletrônicas, etc.) e até mesmo filtrar materiais com propriedades específicas. Logo, o código aqui desenvolvido pode servir como ponto de partida para estudos futuros. Além disso, as técnicas de aprendizado de máquina e análise de grandes volumes de dados (big data) apresentam expressiva tendência de crescimento nos próximos anos, o que demonstra o grande potencial desta abordagem empregada.

Referências

ARMIENTO, R.; KOZINSKY, B.; HAUTIER, G.; FORNARI, M.; CEDER, G. High-throughput screening of perovskite alloys for piezoelectric performance and thermodynamic stability. *Physical Review B*, v. 89, 03 2014.

ASE, E. *Ambiente de Simulação Atômica (ASE)*. 2024. Acesso em: 26 de agosto de 2024. Disponível em: <<https://wiki.fysik.dtu.dk/ase/>>.

CARDOSO, R. *Jupyter Notebook: saiba o que é e como utilizar a ferramenta*. 2023. <https://www.locaweb.com.br/blog/>. Disponível em: <<https://www.locaweb.com.br/blog/temas/codigo-aberto/jupyter-notebook-o-que-e/>>. Acesso em: 23 de abril de 2024.

CASTELLI, I. E.; GARCÍA-LASTRA, J. M.; THYGESEN, K. S.; JACOBSEN, K. W. Bandgap calculations and trends of organometal halide perovskites. *APL Materials*, v. 2, n. 8, p. 081514, 08 2014. ISSN 2166-532X. Disponível em: <<https://doi.org/10.1063/1.4893495>>.

CHEMISTRYTALK. *Coordination Number in Chemistry*. s.d. <https://chemistrytalk.org/>. Disponível em: <<https://chemistrytalk.org/coordination-number-in-chemistry/>>. Acesso em: 23 de abril de 2024.

DANELON, J. G.; SANTOS, R. M.; DIAS, A. C.; SILVA, J. L. D.; LIMA, M. P. Contrasting the stability, octahedral distortions, and optoelectronic properties of 3d mabx₃ and 2d (ba)₂ (ma)_b 2 x 7 (b= ge, sn, pb; x= cl, br, i) perovskites. *Physical Chemistry Chemical Physics*, Royal Society of Chemistry, v. 26, n. 10, p. 8469–8487, 2024.

DATABRICKS. *Jupyter Notebook*. 2024. Acesso em: 03 de agosto de 2024. Disponível em: <<https://www.databricks.com/br/glossary/jupyter-notebook>>.

DIAS, A. C.; LIMA, M. P.; SILVA, J. L. D. Role of structural phases and octahedra distortions in the optoelectronic and excitonic properties of csgex₃ (x= cl, br, i) perovskites. *The Journal of Physical Chemistry C*, ACS Publications, v. 125, n. 35, p. 19142–19155, 2021.

Empresa de Pesquisa Energética (EPE). *Balanco Energético Nacional 2022: ano base 2021*. Rio de Janeiro, 2022. Acesso em: 20 jul. 2024. Disponível em: <<https://www.epe.gov.br/pt/publicacoes-dados-abertos/publicacoes/balanco-energetico-nacional-2022>>.

GIORGI, G.; YAMASHITA, K. Organic–inorganic halide perovskites: an ambipolar class of materials with enhanced photovoltaic performances. *Journal of Materials Chemistry A*, Royal Society of Chemistry, v. 3, n. 17, p. 8981–8991, 2015.

GitHub, Inc. *GitHub*. 2024. Acesso em: 15 agosto de 2024. Disponível em: <<https://github.com/>>.

GOODENOUGH, J. B. Electronic and ionic transport properties and other physical aspects of perovskites. *Reports on Progress in Physics*, IOP Publishing, v. 67, n. 11, p. 1915, 2004.

HELMENSTINE, A. M. *Coordination Number Definition in Chemistry*. 2019. <https://www.thoughtco.com/>. Disponível em: <<https://www.thoughtco.com/definition-of-coordination-number-604956>>. Acesso em: 23 de abril de 2024.

JONES, F. *A corrida pelas células solares de perovskita*. 2024. <https://revistapesquisa.fapesp.br/>. Disponível em: <[https://revistapesquisa.fapesp.br/a-corrida-pelas-celulas-solares-de-perovskita/#:~:text=Uma%20tecnologia%20mais%20recente%2C%20que,Kaust\)%2C%20na%20Ar%2C%20Al%20Saudita.](https://revistapesquisa.fapesp.br/a-corrida-pelas-celulas-solares-de-perovskita/#:~:text=Uma%20tecnologia%20mais%20recente%2C%20que,Kaust)%2C%20na%20Ar%2C%20Al%20Saudita.)>. Acesso em: 23 de abril de 2024.

Jupyter. *Project Jupyter*. 2024. Acesso em: 18 agosto de 2024. Disponível em: <<https://jupyter.org/>>.

KITTEL, C. Física do estado sólido, 8. Ed. Rio de Janeiro, 2006.

LANDSKRON, K. *Coordination Numbers and Structures*. s.d. <https://chem.libretexts.org/>. Disponível em: <[https://chem.libretexts.org/Bookshelves/Inorganic_Chemistry/Inorganic_Coordination_Chemistry_\(Landskron\)](https://chem.libretexts.org/Bookshelves/Inorganic_Chemistry/Inorganic_Coordination_Chemistry_(Landskron))>. Acesso em: 23 de abril de 2024.

LI, C.; SOH, K. C. K.; WU, P. Formability of abo₃ perovskites. *Journal of alloys and compounds*, Elsevier, v. 372, n. 1-2, p. 40–48, 2004.

LIMA, P. P. d. Revisão sistemática de perovskitas inorgânicas aplicadas em fotocatalisadores. 2021.

LONGi. *LONGi estabelece novo recorde mundial de eficiência de célula solar tandem de silício-perovskita na SNEC 2024*. 2024. Acesso em: 22 ago. 2024. Disponível em: <<https://www.longi.com/br/news/2024-snec-silicon-perovskite-tandem-solar-cells-novo-recorde/>>.

LONGO, C.; PAOLI, M.-A. D. Dye-sensitized solar cells: a successful combination of materials. *Journal of the Brazilian Chemical Society*, SciELO Brasil, v. 14, p. 898–901, 2003.

MAYRINCK, C. d.; FONSECA, A. F. V. d.; SCHIAVON, M. A. Nanocristais de perovskitas coloidais: Histórico, propriedades e aplicações. *Química Nova*, SciELO Brasil, v. 43, p. 1264–1276, 2020.

MOMMA, K.; IZUMI, F. Vesta: a three-dimensional visualization system for electronic and structural analysis. *Journal of Applied crystallography*, International Union of Crystallography, v. 41, n. 3, p. 653–658, 2008.

MOMMA, K.; IZUMI, F. VESTA3 for three-dimensional visualization of crystal, volumetric and morphology data. *Journal of Applied Crystallography*, v. 44, n. 6, p. 1272–1276, Dec 2011. Disponível em: <<https://doi.org/10.1107/S0021889811038970>>.

MULLER, P. Glossary of terms used in physical organic chemistry (iupac recommendations 1994). *Pure and Applied Chemistry*, v. 66, n. 5, p. 1077–1184, 1994. Disponível em: <<https://doi.org/10.1351/pac199466051077>>.

PEÑA, M. A.; FIERRO, J. L. Chemical structures and performance of perovskite oxides. *Chemical reviews*, ACS Publications, v. 101, n. 7, p. 1981–2018, 2001.

PEREZ, O. A. G. *Estudos estruturais a baixas temperaturas em compostos com estrutura perovskita*. Tese (Doutorado) — [sn], 2000.

PETROVIĆ, M.; CHELLAPPAN, V.; RAMAKRISHNA, S. Perovskites: Solar cells & engineering applications – materials and device developments. *Solar Energy*, v. 122, p. 678–699, 2015. ISSN 0038-092X. Disponível em: <<https://www.sciencedirect.com/science/article/pii/S0038092X15005277>>.

QUEVEDO, Í. M. d. Síntese e caracterização da perovskita sr_{1-x}ti_xo₃. 2022.

RAPHAEL, E.; SILVA, M. N.; SZOSTAK, R.; SCHIAVON, M. A.; NOGUEIRA, A. F. Celulas solares de perovskitas: Uma nova tecnologia emergente. *Química Nova*, Sociedade Brasileira de Química, v. 41, n. 1, p. 61–74, Jan 2018. ISSN 0100-4042. Disponível em: <<https://doi.org/10.21577/0100-4042.20170127>>.

SILVA, I. B. da. *Módulos Fotovoltaicos em Perovskita: Tecnologia Emergente P&D GT 660 – Interconexão de Minimódulos de Perovskita*. 2012. <https://inova.cemig.com.br/>. Disponível em: <<https://inova.cemig.com.br/publicacoes/modulos-fotovoltaicos-em-perovskita-tecnologia-emergente-pd-gt-660-interconexao-de-minimodulos-de-perovskita/>>. Acesso em: 23 de abril de 2024.

SILVA, J. L. D. Effective coordination concept applied for phase change (gete) m (sb₂te₃) n compounds. *Journal of Applied Physics*, AIP Publishing, v. 109, n. 2, 2011.

YI, Z.; LADI, N. H.; SHAI, X.; LI, H.; SHEN, Y.; WANG, M. Will organic–inorganic hybrid halide lead perovskites be eliminated from optoelectronic applications? *Nanoscale Advances*, Royal Society of Chemistry, v. 1, n. 4, p. 1276–1289, 2019.

ZHAN, Y.; KHALID, M.; VIVO, P.; ARSHID, N. *Low-Dimensional Halide Perovskites: Structure, Synthesis, and Applications*. [S.l.]: Elsevier, 2022.

ZHOU, Y.; ZHAO, Y. Chemical stability and instability of inorganic halide perovskites. *Energy Environ. Sci.*, The Royal Society of Chemistry, v. 12, p. 1495–1511, 2019. Disponível em: <<http://dx.doi.org/10.1039/C8EE03559H>>.

Apêndices

APÊNDICE A – Perovskitas

Índice	Perovskita	Índice	Perovskita
1	PbBr ₂ ClCs	41	PbBr ₂ ClCH ₅ N ₂
2	PbBr ₃ Cs	42	PbBr ₃ CH ₅ N ₂
3	PbBrCl ₂ Cs	43	PbBrCl ₂ CH ₅ N ₂
4	PbCl ₃ Cs	44	PbCl ₃ CH ₅ N ₂
5	PbI ₂ BrCs	45	PbI ₂ BrCH ₅ N ₂
6	PbI ₂ ClCs	46	PbI ₂ ClCH ₅ N ₂
7	PbI ₃ Cs	47	PbI ₃ CH ₅ N ₂
8	PbIBr ₂ Cs	48	PbIBr ₂ CH ₅ N ₂
9	PbIBrClCs	49	PbIBrClCH ₅ N ₂
10	PbICl ₂ Cs	50	PbICl ₂ CH ₅ N ₂
11	SnBr ₂ ClCs	51	SnBr ₂ ClCH ₅ N ₂
12	SnBr ₃ Cs	52	SnBr ₃ CH ₅ N ₂
13	SnBrCl ₂ Cs	53	SnBrCl ₂ CH ₅ N ₂
14	SnCl ₃ Cs	54	SnCl ₃ CH ₅ N ₂
15	SnI ₂ BrCs	55	SnI ₂ BrCH ₅ N ₂
16	SnI ₂ ClCs	56	SnI ₂ ClCH ₅ N ₂
17	SnI ₃ Cs	57	SnI ₃ CH ₅ N ₂
18	SnIBr ₂ Cs	58	SnIBr ₂ CH ₅ N ₂
19	SnIBrClCs	59	SnIBrClCH ₅ N ₂
20	SnICl ₂ Cs	60	SnICl ₂ CH ₅ N ₂
21	PbBr ₂ ClNH ₃ CH ₃	61	Br ₂ Cl ₄ Br ₆ Pb ₄ Cs ₄
22	PbBr ₃ NH ₃ CH ₃	62	Br ₁₂ Pb ₄ Cs ₄
23	PbBrCl ₂ NH ₃ CH ₃	63	Cl ₈ Br ₄ Pb ₄ Cs ₄
24	PbCl ₃ NH ₃ CH ₃	64	Cl ₁₂ Pb ₄ Cs ₄
25	PbI ₂ BrNH ₃ CH ₃	65	I ₂ Br ₄ I ₆ Pb ₄ Cs ₄
26	PbI ₂ ClNH ₃ CH ₃	66	I ₂ Cl ₄ I ₆ Pb ₄ Cs ₄
27	PbI ₃ NH ₃ CH ₃	67	I ₁₂ Pb ₄ Cs ₄
28	PbIBr ₂ NH ₃ CH ₃	68	Br ₈ I ₄ Pb ₄ Cs ₄
29	PbIBrClNH ₃ CH ₃	69	Br ₂ Cl ₄ Br ₂ I ₄ Pb ₄ Cs ₄
30	PbICl ₂ NH ₃ CH ₃	70	Cl ₈ I ₄ Pb ₄ Cs ₄
31	SnBr ₂ ClNH ₃ CH ₃	71	Br ₂ Cl ₄ Br ₆ Sn ₄ Cs ₄
32	SnBr ₃ NH ₃ CH ₃	72	Br ₁₂ Sn ₄ Cs ₄
33	SnBrCl ₂ NH ₃ CH ₃	73	Cl ₈ Br ₄ Sn ₄ Cs ₄
34	SnCl ₃ NH ₃ CH ₃	74	Cl ₁₂ Sn ₄ Cs ₄
35	SnI ₂ BrNH ₃ CH ₃	75	I ₂ Br ₄ I ₆ Sn ₄ Cs ₄
36	SnI ₂ ClNH ₃ CH ₃	76	I ₂ Cl ₄ I ₆ Sn ₄ Cs ₄
37	SnI ₃ NH ₃ CH ₃	77	I ₁₂ Sn ₄ Cs ₄
38	SnIBr ₂ NH ₃ CH ₃	78	Br ₈ I ₄ Sn ₄ Cs ₄
39	SnIBrClNH ₃ CH ₃	79	Br ₂ Cl ₄ Br ₂ I ₄ Sn ₄ Cs ₄
40	SnICl ₂ NH ₃ CH ₃	80	Cl ₈ I ₄ Sn ₄ Cs ₄

Tabela A.1 – Perovskitas presentes no banco de dados. Parte 1.

Índice	Perovskita
81	Br ₂ Cl ₄ Br ₆ Pb ₄ NH ₃ CH ₃ NH ₃ CH ₃ NH ₃ CH ₃ NH ₃ CH ₃
82	Br ₁₂ Pb ₄ NH ₃ CH ₃ NH ₃ CH ₃ NH ₃ CH ₃ NH ₃ CH ₃
83	Cl ₈ Br ₄ Pb ₄ NH ₃ CH ₃ NH ₃ CH ₃ NH ₃ CH ₃ NH ₃ CH ₃
84	Cl ₁₂ Pb ₄ NH ₃ CH ₃ NH ₃ CH ₃ NH ₃ CH ₃ NH ₃ CH ₃
85	I ₂ Br ₄ I ₆ Pb ₄ NH ₃ CH ₃ NH ₃ CH ₃ NH ₃ CH ₃ NH ₃ CH ₃
86	I ₂ Cl ₄ I ₆ Pb ₄ NH ₃ CH ₃ NH ₃ CH ₃ NH ₃ CH ₃ NH ₃ CH ₃
87	I ₁₂ Pb ₄ NH ₃ CH ₃ NH ₃ CH ₃ NH ₃ CH ₃ NH ₃ CH ₃
88	Br ₈ I ₄ Pb ₄ NH ₃ CH ₃ NH ₃ CH ₃ NH ₃ CH ₃ NH ₃ CH ₃
89	Br ₂ Cl ₄ Br ₂ I ₄ Pb ₄ NH ₃ CH ₃ NH ₃ CH ₃ NH ₃ CH ₃ NH ₃ CH ₃
90	Cl ₈ I ₄ Pb ₄ NH ₃ CH ₃ NH ₃ CH ₃ NH ₃ CH ₃ NH ₃ CH ₃
91	Br ₂ Cl ₄ Br ₆ Sn ₄ NH ₃ CH ₃ NH ₃ CH ₃ NH ₃ CH ₃ NH ₃ CH ₃
92	Br ₁₂ Sn ₄ NH ₃ CH ₃ NH ₃ CH ₃ NH ₃ CH ₃ NH ₃ CH ₃
93	Cl ₈ Br ₄ Sn ₄ NH ₃ CH ₃ NH ₃ CH ₃ NH ₃ CH ₃ NH ₃ CH ₃
94	Cl ₁₂ Sn ₄ NH ₃ CH ₃ NH ₃ CH ₃ NH ₃ CH ₃ NH ₃ CH ₃
95	I ₂ Br ₄ I ₆ Sn ₄ NH ₃ CH ₃ NH ₃ CH ₃ NH ₃ CH ₃ NH ₃ CH ₃
96	I ₂ Cl ₄ I ₆ Sn ₄ NH ₃ CH ₃ NH ₃ CH ₃ NH ₃ CH ₃ NH ₃ CH ₃
97	I ₁₂ Sn ₄ NH ₃ CH ₃ NH ₃ CH ₃ NH ₃ CH ₃ NH ₃ CH ₃
98	Br ₈ I ₄ Sn ₄ NH ₃ CH ₃ NH ₃ CH ₃ NH ₃ CH ₃ NH ₃ CH ₃
99	Br ₂ Cl ₄ Br ₂ I ₄ Sn ₄ NH ₃ CH ₃ NH ₃ CH ₃ NH ₃ CH ₃ NH ₃ CH ₃
100	Cl ₈ I ₄ Sn ₄ NH ₃ CH ₃ NH ₃ CH ₃ NH ₃ CH ₃ NH ₃ CH ₃
101	Br ₂ Cl ₄ Br ₆ Pb ₄ CH ₅ N ₂ CH ₅ N ₂ CH ₅ N ₂ CH ₅ N ₂
102	Br ₁₂ Pb ₄ CH ₅ N ₂ CH ₅ N ₂ CH ₅ N ₂ CH ₅ N ₂
103	Cl ₈ Br ₄ Pb ₄ CH ₅ N ₂ CH ₅ N ₂ CH ₅ N ₂ CH ₅ N ₂
104	Cl ₁₂ Pb ₄ CH ₅ N ₂ CH ₅ N ₂ CH ₅ N ₂ CH ₅ N ₂
105	I ₂ Br ₄ I ₆ Pb ₄ CH ₅ N ₂ CH ₅ N ₂ CH ₅ N ₂ CH ₅ N ₂
106	I ₂ Cl ₄ I ₆ Pb ₄ CH ₅ N ₂ CH ₅ N ₂ CH ₅ N ₂ CH ₅ N ₂
107	I ₁₂ Pb ₄ CH ₅ N ₂ CH ₅ N ₂ CH ₅ N ₂ CH ₅ N ₂
108	Br ₈ I ₄ Pb ₄ CH ₅ N ₂ CH ₅ N ₂ CH ₅ N ₂ CH ₅ N ₂
109	Br ₂ Cl ₄ Br ₂ I ₄ Pb ₄ CH ₅ N ₂ CH ₅ N ₂ CH ₅ N ₂ CH ₅ N ₂
110	Cl ₈ I ₄ Pb ₄ CH ₅ N ₂ CH ₅ N ₂ CH ₅ N ₂ CH ₅ N ₂
111	Br ₂ Cl ₄ Br ₆ Sn ₄ CH ₅ N ₂ CH ₅ N ₂ CH ₅ N ₂ CH ₅ N ₂
112	Br ₁₂ Sn ₄ CH ₅ N ₂ CH ₅ N ₂ CH ₅ N ₂ CH ₅ N ₂
113	Cl ₈ Br ₄ Sn ₄ CH ₅ N ₂ CH ₅ N ₂ CH ₅ N ₂ CH ₅ N ₂
114	Cl ₁₂ Sn ₄ CH ₅ N ₂ CH ₅ N ₂ CH ₅ N ₂ CH ₅ N ₂
115	I ₂ Br ₄ I ₆ Sn ₄ CH ₅ N ₂ CH ₅ N ₂ CH ₅ N ₂ CH ₅ N ₂
116	I ₂ Cl ₄ I ₆ Sn ₄ CH ₅ N ₂ CH ₅ N ₂ CH ₅ N ₂ CH ₅ N ₂
117	I ₁₂ Sn ₄ CH ₅ N ₂ CH ₅ N ₂ CH ₅ N ₂ CH ₅ N ₂
118	Br ₈ I ₄ Sn ₄ CH ₅ N ₂ CH ₅ N ₂ CH ₅ N ₂ CH ₅ N ₂
119	Br ₂ Cl ₄ Br ₂ I ₄ Sn ₄ CH ₅ N ₂ CH ₅ N ₂ CH ₅ N ₂ CH ₅ N ₂
120	Cl ₈ I ₄ Sn ₄ CH ₅ N ₂ CH ₅ N ₂ CH ₅ N ₂ CH ₅ N ₂
121	Br ₈ Cl ₄ Cs ₄ Pb ₄
122	Br ₁₂ Cs ₄ Pb ₄
123	Br ₄ Cl ₈ Cs ₄ Pb ₄
124	Cl ₁₂ Cs ₄ Pb ₄
125	I ₈ Br ₄ Cs ₄ Pb ₄

Tabela A.2 – Perovskitas presentes no banco de dados. Parte 2.

Índice	Perovskita
126	$I_8Cl_4Cs_4Pb_4$
127	$I_{12}Cs_4Pb_4$
128	$I_4Br_8Cs_4Pb_4$
129	$I_4Br_4Cl_4Cs_4Pb_4$
130	$I_4Cl_8Cs_4Pb_4$
131	$Br_8Cl_4Cs_4Sn_4$
132	$Br_{12}Cs_4Sn_4$
133	$Br_4Cl_8Cs_4Sn_4$
134	$Cl_{12}Cs_4Sn_4$
135	$I_8Br_4Cs_4Sn_4$
136	$I_8Cl_4Cs_4Sn_4$
137	$I_{12}Cs_4Sn_4$
138	$I_4Br_8Cs_4Sn_4$
139	$I_4Br_4Cl_4Cs_4Sn_4$
140	$I_4Cl_8Cs_4Sn_4$
141	$Br_8Cl_4NH_3CH_3NH_3CH_3NH_3CH_3NH_3CH_3Pb_4$
142	$Br_{12}NH_3CH_3NH_3CH_3NH_3CH_3NH_3CH_3Pb_4$
143	$Br_4Cl_8NH_3CH_3NH_3CH_3NH_3CH_3NH_3CH_3Pb_4$
144	$Cl_{12}NH_3CH_3NH_3CH_3NH_3CH_3NH_3CH_3Pb_4$
145	$I_8Br_4NH_3CH_3NH_3CH_3NH_3CH_3NH_3CH_3Pb_4$
146	$I_8Cl_4NH_3CH_3NH_3CH_3NH_3CH_3NH_3CH_3Pb_4$
147	$I_{12}NH_3CH_3NH_3CH_3NH_3CH_3NH_3CH_3Pb_4$
148	$I_4Br_8NH_3CH_3NH_3CH_3NH_3CH_3NH_3CH_3Pb_4$
149	$I_4Br_4Cl_4NH_3CH_3NH_3CH_3NH_3CH_3NH_3CH_3Pb_4$
150	$I_4Cl_8NH_3CH_3NH_3CH_3NH_3CH_3NH_3CH_3Pb_4$
151	$Br_8Cl_4NH_3CH_3NH_3CH_3NH_3CH_3NH_3CH_3Sn_4$
152	$Br_{12}NH_3CH_3NH_3CH_3NH_3CH_3NH_3CH_3Sn_4$
153	$Br_4Cl_8NH_3CH_3NH_3CH_3NH_3CH_3NH_3CH_3Sn_4$
154	$Cl_{12}NH_3CH_3NH_3CH_3NH_3CH_3NH_3CH_3Sn_4$
155	$I_8Br_4NH_3CH_3NH_3CH_3NH_3CH_3NH_3CH_3Sn_4$
156	$I_8Cl_4NH_3CH_3NH_3CH_3NH_3CH_3NH_3CH_3Sn_4$
157	$I_{12}NH_3CH_3NH_3CH_3NH_3CH_3NH_3CH_3Sn_4$
158	$I_4Br_8NH_3CH_3NH_3CH_3NH_3CH_3NH_3CH_3Sn_4$
159	$I_4Br_4Cl_4NH_3CH_3NH_3CH_3NH_3CH_3NH_3CH_3Sn_4$
160	$I_4Cl_8NH_3CH_3NH_3CH_3NH_3CH_3NH_3CH_3Sn_4$
161	$Br_8Cl_4CH_5N_2CH_5N_2CH_5N_2CH_5N_2Pb_4$
162	$Br_{12}CH_5N_2CH_5N_2CH_5N_2CH_5N_2Pb_4$
163	$Br_4Cl_8CH_5N_2CH_5N_2CH_5N_2CH_5N_2Pb_4$
164	$Cl_{12}CH_5N_2CH_5N_2CH_5N_2CH_5N_2Pb_4$
165	$I_8Br_4CH_5N_2CH_5N_2CH_5N_2CH_5N_2Pb_4$
166	$I_8Cl_4CH_5N_2CH_5N_2CH_5N_2CH_5N_2Pb_4$
167	$I_{12}CH_5N_2CH_5N_2CH_5N_2CH_5N_2Pb_4$
168	$I_4Br_8CH_5N_2CH_5N_2CH_5N_2CH_5N_2Pb_4$
169	$I_4Br_4Cl_4CH_5N_2CH_5N_2CH_5N_2CH_5N_2Pb_4$
170	$I_4Cl_8CH_5N_2CH_5N_2CH_5N_2CH_5N_2Pb_4$

Tabela A.3 – Perovskitas presentes no banco de dados. Parte 3.

Índice	Perovskita
171	$\text{Br}_8\text{Cl}_4\text{CH}_5\text{N}_2\text{CH}_5\text{N}_2\text{CH}_5\text{N}_2\text{CH}_5\text{N}_2\text{Sn}_4$
172	$\text{Br}_{12}\text{CH}_5\text{N}_2\text{CH}_5\text{N}_2\text{CH}_5\text{N}_2\text{CH}_5\text{N}_2\text{Sn}_4$
173	$\text{Br}_4\text{Cl}_8\text{CH}_5\text{N}_2\text{CH}_5\text{N}_2\text{CH}_5\text{N}_2\text{CH}_5\text{N}_2\text{Sn}_4$
174	$\text{Cl}_{12}\text{CH}_5\text{N}_2\text{CH}_5\text{N}_2\text{CH}_5\text{N}_2\text{CH}_5\text{N}_2\text{Sn}_4$
175	$\text{I}_8\text{Br}_4\text{CH}_5\text{N}_2\text{CH}_5\text{N}_2\text{CH}_5\text{N}_2\text{CH}_5\text{N}_2\text{Sn}_4$
176	$\text{I}_8\text{Cl}_4\text{CH}_5\text{N}_2\text{CH}_5\text{N}_2\text{CH}_5\text{N}_2\text{CH}_5\text{N}_2\text{Sn}_4$
177	$\text{I}_{12}\text{CH}_5\text{N}_2\text{CH}_5\text{N}_2\text{CH}_5\text{N}_2\text{CH}_5\text{N}_2\text{Sn}_4$
178	$\text{I}_4\text{Br}_8\text{CH}_5\text{N}_2\text{CH}_5\text{N}_2\text{CH}_5\text{N}_2\text{CH}_5\text{N}_2\text{Sn}_4$
179	$\text{I}_4\text{Br}_4\text{Cl}_4\text{CH}_5\text{N}_2\text{CH}_5\text{N}_2\text{CH}_5\text{N}_2\text{CH}_5\text{N}_2\text{Sn}_4$
180	$\text{I}_4\text{Cl}_8\text{CH}_5\text{N}_2\text{CH}_5\text{N}_2\text{CH}_5\text{N}_2\text{CH}_5\text{N}_2\text{Sn}_4$
181	$\text{Cs}_4\text{Br}_8\text{Cl}_4\text{Pb}_4$
182	$\text{Cs}_4\text{Br}_{12}\text{Pb}_4$
183	$\text{Cs}_4\text{Br}_4\text{Cl}_8\text{Pb}_4$
184	$\text{Cs}_4\text{Cl}_{12}\text{Pb}_4$
185	$\text{Cs}_4\text{I}_8\text{Br}_4\text{Pb}_4$
186	$\text{Cs}_4\text{I}_8\text{Cl}_4\text{Pb}_4$
187	$\text{Cs}_4\text{I}_{12}\text{Pb}_4$
188	$\text{Cs}_4\text{I}_4\text{Br}_8\text{Pb}_4$
189	$\text{Cs}_4\text{I}_4\text{Br}_4\text{Cl}_4\text{Pb}_4$
190	$\text{Cs}_4\text{I}_4\text{Cl}_8\text{Pb}_4$
191	$\text{Cs}_4\text{Br}_8\text{Cl}_4\text{Sn}_4$
192	$\text{Cs}_4\text{Br}_{12}\text{Sn}_4$
193	$\text{Cs}_4\text{Br}_4\text{Cl}_8\text{Sn}_4$
194	$\text{Cs}_4\text{Cl}_{12}\text{Sn}_4$
195	$\text{Cs}_4\text{I}_8\text{Br}_4\text{Sn}_4$
196	$\text{Cs}_4\text{I}_8\text{Cl}_4\text{Sn}_4$
197	$\text{Cs}_4\text{I}_{12}\text{Sn}_4$
198	$\text{Cs}_4\text{I}_4\text{Br}_8\text{Sn}_4$
199	$\text{Cs}_4\text{I}_4\text{Br}_4\text{Cl}_4\text{Sn}_4$
200	$\text{Cs}_4\text{I}_4\text{Cl}_8\text{Sn}_4$
201	$\text{NH}_3\text{CH}_3\text{NH}_3\text{CH}_3\text{NH}_3\text{CH}_3\text{NH}_3\text{CH}_3\text{Br}_8\text{Cl}_4\text{Pb}_4$
202	$\text{NH}_3\text{CH}_3\text{NH}_3\text{CH}_3\text{NH}_3\text{CH}_3\text{NH}_3\text{CH}_3\text{Br}_{12}\text{Pb}_4$
203	$\text{NH}_3\text{CH}_3\text{NH}_3\text{CH}_3\text{NH}_3\text{CH}_3\text{NH}_3\text{CH}_3\text{Br}_4\text{Cl}_8\text{Pb}_4$
204	$\text{NH}_3\text{CH}_3\text{NH}_3\text{CH}_3\text{NH}_3\text{CH}_3\text{NH}_3\text{CH}_3\text{Cl}_{12}\text{Pb}_4$
205	$\text{NH}_3\text{CH}_3\text{NH}_3\text{CH}_3\text{NH}_3\text{CH}_3\text{NH}_3\text{CH}_3\text{I}_8\text{Br}_4\text{Pb}_4$
206	$\text{NH}_3\text{CH}_3\text{NH}_3\text{CH}_3\text{NH}_3\text{CH}_3\text{NH}_3\text{CH}_3\text{I}_8\text{Cl}_4\text{Pb}_4$
207	$\text{NH}_3\text{CH}_3\text{NH}_3\text{CH}_3\text{NH}_3\text{CH}_3\text{NH}_3\text{CH}_3\text{I}_{12}\text{Pb}_4$
208	$\text{NH}_3\text{CH}_3\text{NH}_3\text{CH}_3\text{NH}_3\text{CH}_3\text{NH}_3\text{CH}_3\text{I}_4\text{Br}_8\text{Pb}_4$
209	$\text{NH}_3\text{CH}_3\text{NH}_3\text{CH}_3\text{NH}_3\text{CH}_3\text{NH}_3\text{CH}_3\text{I}_4\text{Br}_4\text{Cl}_4\text{Pb}_4$
210	$\text{NH}_3\text{CH}_3\text{NH}_3\text{CH}_3\text{NH}_3\text{CH}_3\text{NH}_3\text{CH}_3\text{I}_4\text{Cl}_8\text{Pb}_4$
211	$\text{NH}_3\text{CH}_3\text{NH}_3\text{CH}_3\text{NH}_3\text{CH}_3\text{NH}_3\text{CH}_3\text{Br}_8\text{Cl}_4\text{Sn}_4$
212	$\text{NH}_3\text{CH}_3\text{NH}_3\text{CH}_3\text{NH}_3\text{CH}_3\text{NH}_3\text{CH}_3\text{Br}_{12}\text{Sn}_4$
213	$\text{NH}_3\text{CH}_3\text{NH}_3\text{CH}_3\text{NH}_3\text{CH}_3\text{NH}_3\text{CH}_3\text{Br}_4\text{Cl}_8\text{Sn}_4$
214	$\text{NH}_3\text{CH}_3\text{NH}_3\text{CH}_3\text{NH}_3\text{CH}_3\text{NH}_3\text{CH}_3\text{Cl}_{12}\text{Sn}_4$

Tabela A.4 – Perovskitas presentes no banco de dados. Parte 4.

Índice	Perovskita
215	$\text{NH}_3\text{CH}_3\text{NH}_3\text{CH}_3\text{NH}_3\text{CH}_3\text{NH}_3\text{CH}_3\text{I}_8\text{Br}_4\text{Sn}_4$
216	$\text{NH}_3\text{CH}_3\text{NH}_3\text{CH}_3\text{NH}_3\text{CH}_3\text{NH}_3\text{CH}_3\text{I}_8\text{Cl}_4\text{Sn}_4$
217	$\text{NH}_3\text{CH}_3\text{NH}_3\text{CH}_3\text{NH}_3\text{CH}_3\text{NH}_3\text{CH}_3\text{I}_{12}\text{Sn}_4$
218	$\text{NH}_3\text{CH}_3\text{NH}_3\text{CH}_3\text{NH}_3\text{CH}_3\text{NH}_3\text{CH}_3\text{I}_4\text{Br}_8\text{Sn}_4$
219	$\text{NH}_3\text{CH}_3\text{NH}_3\text{CH}_3\text{NH}_3\text{CH}_3\text{NH}_3\text{CH}_3\text{I}_4\text{Br}_4\text{Cl}_4\text{Sn}_4$
220	$\text{NH}_3\text{CH}_3\text{NH}_3\text{CH}_3\text{NH}_3\text{CH}_3\text{NH}_3\text{CH}_3\text{I}_4\text{Cl}_8\text{Sn}_4$
221	$\text{CH}_5\text{N}_2\text{CH}_5\text{N}_2\text{CH}_5\text{N}_2\text{CH}_5\text{N}_2\text{Br}_8\text{Cl}_4\text{Pb}_4$
222	$\text{CH}_5\text{N}_2\text{CH}_5\text{N}_2\text{CH}_5\text{N}_2\text{CH}_5\text{N}_2\text{Br}_{12}\text{Pb}_4$
223	$\text{CH}_5\text{N}_2\text{CH}_5\text{N}_2\text{CH}_5\text{N}_2\text{CH}_5\text{N}_2\text{Br}_4\text{Cl}_8\text{Pb}_4$
224	$\text{CH}_5\text{N}_2\text{CH}_5\text{N}_2\text{CH}_5\text{N}_2\text{CH}_5\text{N}_2\text{Cl}_{12}\text{Pb}_4$
225	$\text{CH}_5\text{N}_2\text{CH}_5\text{N}_2\text{CH}_5\text{N}_2\text{CH}_5\text{N}_2\text{I}_8\text{Br}_4\text{Pb}_4$
226	$\text{CH}_5\text{N}_2\text{CH}_5\text{N}_2\text{CH}_5\text{N}_2\text{CH}_5\text{N}_2\text{I}_8\text{Cl}_4\text{Pb}_4$
227	$\text{CH}_5\text{N}_2\text{CH}_5\text{N}_2\text{CH}_5\text{N}_2\text{CH}_5\text{N}_2\text{I}_{12}\text{Pb}_4$
228	$\text{CH}_5\text{N}_2\text{CH}_5\text{N}_2\text{CH}_5\text{N}_2\text{CH}_5\text{N}_2\text{I}_4\text{Br}_8\text{Pb}_4$
229	$\text{CH}_5\text{N}_2\text{CH}_5\text{N}_2\text{CH}_5\text{N}_2\text{CH}_5\text{N}_2\text{I}_4\text{Br}_4\text{Cl}_4\text{Pb}_4$
230	$\text{CH}_5\text{N}_2\text{CH}_5\text{N}_2\text{CH}_5\text{N}_2\text{CH}_5\text{N}_2\text{I}_4\text{Cl}_8\text{Pb}_4$
231	$\text{CH}_5\text{N}_2\text{CH}_5\text{N}_2\text{CH}_5\text{N}_2\text{CH}_5\text{N}_2\text{Br}_8\text{Cl}_4\text{Sn}_4$
232	$\text{CH}_5\text{N}_2\text{CH}_5\text{N}_2\text{CH}_5\text{N}_2\text{CH}_5\text{N}_2\text{Br}_{12}\text{Sn}_4$
233	$\text{CH}_5\text{N}_2\text{CH}_5\text{N}_2\text{CH}_5\text{N}_2\text{CH}_5\text{N}_2\text{Br}_4\text{Cl}_8\text{Sn}_4$
234	$\text{CH}_5\text{N}_2\text{CH}_5\text{N}_2\text{CH}_5\text{N}_2\text{CH}_5\text{N}_2\text{Cl}_{12}\text{Sn}_4$
235	$\text{CH}_5\text{N}_2\text{CH}_5\text{N}_2\text{CH}_5\text{N}_2\text{CH}_5\text{N}_2\text{I}_8\text{Br}_4\text{Sn}_4$
236	$\text{CH}_5\text{N}_2\text{CH}_5\text{N}_2\text{CH}_5\text{N}_2\text{CH}_5\text{N}_2\text{I}_8\text{Cl}_4\text{Sn}_4$
237	$\text{CH}_5\text{N}_2\text{CH}_5\text{N}_2\text{CH}_5\text{N}_2\text{CH}_5\text{N}_2\text{I}_{12}\text{Sn}_4$
238	$\text{CH}_5\text{N}_2\text{CH}_5\text{N}_2\text{CH}_5\text{N}_2\text{CH}_5\text{N}_2\text{I}_4\text{Br}_8\text{Sn}_4$
239	$\text{CH}_5\text{N}_2\text{CH}_5\text{N}_2\text{CH}_5\text{N}_2\text{CH}_5\text{N}_2\text{I}_4\text{Br}_4\text{Cl}_4\text{Sn}_4$
240	$\text{CH}_5\text{N}_2\text{CH}_5\text{N}_2\text{CH}_5\text{N}_2\text{CH}_5\text{N}_2\text{I}_4\text{Cl}_8\text{Sn}_4$

Tabela A.5 – Perovskitas presentes no banco de dados. Parte 5. Fonte: (CASTELLI et al., 2014).

APÊNDICE B – Códigos

B.0.1 Bibliotecas

```

1 from ase.db import connect
2 import ase.io
3 from scipy.spatial import distance_matrix
4 import numpy as np
5 import ase.geometry

```

B.0.2 Função Distância Mínima

```

1 def minima_distancia(symbols, aux_b, atom):
2     # Definição de listas:
3     aux_xCl = [] # Índices do elemento Cl presente na PVK
4     aux_xBr = [] # Índices do elemento Br presente na PVK
5     aux_xI = [] # Índices do elemento I presentes na PVK
6     aux_x = [] # Junção das listas anteriores com os índices
7     distancias_Cl = [] # Distâncias calculadas entre (X,Cl)
8     distancias_Br = [] # Distâncias calculadas entre (X,Br)
9     distancias_I = [] # Distâncias calculadas entre (X,I)
10    dist = [] # Mínima distância entre (X,X') com X' em Cl,Br,I
11    posi_b = [] # Posições do elemento do sítio B
12    posi_x = [] # Posições do elemento do sítio X
13
14    # For para quebrar em listas os índices do Cl,Br,I
15    for indice, elemento in enumerate(symbols):
16        if elemento == 'Cl':
17            aux_xCl.append(indice)
18        if elemento == 'Br':
19            aux_xBr.append(indice)
20        if elemento == 'I':
21            aux_xI.append(indice)
22
23    # Junção das listas em uma só
24    aux_x.append(aux_xCl)
25    aux_x.append(aux_xBr)
26    aux_x.append(aux_xI)
27
28    # For para percorrer as 3 listas com as distâncias para cada
29    elemento do sítio X
30    for x in range(0, 3):
31        aux_distancias = []

```

```
32     # If para filtrar quais elementos a PVK em análise tem no sítio
X
33     if not aux_x[x]:
34         continue
35     else:
36         # For para pegar as posições separadamente dos átomos Cl,Br,
I
37         for p in aux_x[x]:
38             positions_x = atom.positions[p]
39             posi_x.append(positions_x)
40
41         # For para pegar posição de cada átomo do elemento do sí
tio B
42         for i in aux_b:
43             positions_b = atom.positions[i]
44             posi_b.append(positions_b)
45
46         # For para percorrer os inteiros utilizados na
determinação das células vizinhas e das respectivas distâncias
47         for k in valor:
48             # If == 0 colocado pois quando o valor do
inteiro é 0 obtemos 3 matrizes iguais, dessa forma temos apenas 1
49             if k == 0:
50                 vizinho = positions_x
51                 distancia = ase.geometry.get_distances(
posições_b, vizinho)
52                 aux_distancias.append(distancia[1])
53             else:
54                 # Aqui é pego os vizinhos e as respectivas
distâncias considerando os inteiros 1 e -1
55                 for n in rede:
56                     aux = k * cell[n, :]
57                     vizinho = positions_x + aux
58                     distancia = ase.geometry.get_distances(
posições_b, vizinho)
59                     aux_distancias.append(distancia[1])
60
61         # Armazenando as distâncias para cada elemento em listas
separadas
62         if x == 0:
63             distancias_Cl.append(np.array(aux_distancias))
64         elif x == 1:
65             distancias_Br.append(np.array(aux_distancias))
66         else:
67             distancias_I.append(np.array(aux_distancias))
68
69     # Determinação da mínima distância de cada elemento
```

```
70     if distancias_I:
71         I = min(distancias_I[0])
72         dist.append(I)
73     if distancias_Br:
74         Br = min(distancias_Br[0])
75         dist.append(Br)
76     if distancias_Cl:
77         Cl = min(distancias_Cl[0])
78         dist.append(Cl)
79
80     # Retorna lista com as distâncias mínimas na sequência I,Br,Cl
81     return dist
```

B.0.3 CN

```
1 # Conexão com o banco
2 db = connect("organometal.db")
3
4 # Definição de listas
5 atoms = []# PVK's do banco
6 perovskita = []# Índice das PVK's
7 valor = [0,-1,1]# Inteiros para determinação dos vizinhos
8 rede = [0,1,2]# Vetores de rede
9 elex = []# Armazena qual o elemento do sítio X
10
11 # for para extrair as PVK's do banco
12 for row in db.select():
13     atoms.append(row.toatoms())
14
15 # Seleção de PVK's do banco
16 indices = [2,8,53,81,108,174,176,179,225,238]
17 atoms = [atoms[i] for i in indices]
18
19 # for para percorrer as PVK's selecionadas
20 for i, atom in enumerate(atoms):
21
22     # Fórmula da PVK
23     formula = atom.symbols
24     # Quebra da fórmula em átomos
25     symbols = atom.get_chemical_symbols()
26     perovskita.append(i+1)
27     # Traz os vetores de rede
28     cell = atom.get_cell().todict()['array']
29
30     # Definição de listas para armazenar os índices e elementos de cada
    átomo dos sítios
31     aux_b = []# Índice sítio B
```

```
32     aux_bele = []# Elemento sítio B
33     aux_xs = []# Índice sítio X
34     aux_xele = []# Elemento sítio X
35     aux_a = []# Índice sítio A
36     aux_aele = []# Elemento sítio A
37
38     # Classificação dos átomos por sítio, salvando seus índices em
39     # listas
40     for indice, elemento in enumerate(symbols):
41         if elemento in ['Au', 'Pb', 'Sn']:
42             aux_b.append(indice)
43             aux_bele.append(elemento)
44         elif elemento in ['Cl', 'Br', 'I']:
45             aux_xs.append(indice)
46             aux_xele.append(elemento)
47         else:
48             aux_a.append(indice)
49             aux_aele.append(elemento)
50
51     # Definição de listas auxiliares para a obtenção das posições
52     posi_b = []# Sítio B
53     posi_x = []# Sítio X
54
55     # Chamando a função para pegar a mínima distância
56     dist = minima_distancia(symbols, aux_b, atom)
57
58     # Definição de listas auxiliares para confecção de gráficos
59     auxCN_I = []
60     auxCN_Br = []
61     auxCN_Cl = []
62
63     # if para determinar qual o elemento do sítio X
64     if 'Pb' in aux_bele:
65         elex.append('Pb')
66     else:
67         elex.append('Sn')
68
69     # for para pegar o positions(vetor posição) do átomo do sítio B
70     for b in aux_b:
71         # Definição de listas auxiliares para obtenção dos vizinhos e
72         # das distâncias com o sítio B
73         aux_vizinhos_I = []
74         aux_distancias_I = []
75         aux_vizinhos_Br = []
76         aux_distancias_Br = []
77         aux_vizinhos_Cl = []
78         aux_distancias_Cl = []
```



```
116         pass
117     else:
118         for n in rede:
119             aux = k*cell[n,:]
120             vizinho = positions_x + aux
121             distancia = ase.geometry.get_distances(
positions_b, vizinho)
122             aux_vizinhos_Br.append(vizinho)
123             aux_distancias_Br.append(distancia[1])
124
125     else:
126         ind_atomo = aux_xs[i]
127         positions_x = atom.positions[ind_atomo]
128
129         for k in valor:
130             if k == 0:
131                 vizinho = positions_x
132                 distancia = ase.geometry.get_distances(
positions_b, vizinho)
133                 aux_vizinhos_Cl.append(vizinho)
134                 aux_distancias_Cl.append(distancia[1])
135             pass
136         else:
137             for n in rede:
138                 aux = k*cell[n,:]
139                 vizinho = positions_x + aux
140                 distancia = ase.geometry.get_distances(
positions_b, vizinho)
141                 aux_vizinhos_Cl.append(vizinho)
142                 aux_distancias_Cl.append(distancia[1])
143
144     # Armazenando as distâncias em lista ordenando por elemento do s
ítio X
145     if aux_distancias_I:
146         distancias.append(np.array(aux_distancias_I))
147     if aux_distancias_Br:
148         distancias.append(np.array(aux_distancias_Br))
149     if aux_distancias_Cl:
150         distancias.append(np.array(aux_distancias_Cl))
151
152
153
154     # Determinação do comprimento da lista
155     compri_distancias = len(distancias)
156
157     # Realizando o rateio do Cn por sítio X
158     CN_I = [] # Valor Cn (X,I)
```

```
159     CN_Br = []# Valor Cn (X,Br)
160     CN_Cl = []# Valor Cn (X,Cl)
161
162     # for para percorrer todas as distâncias de acordo com o
comprimento obtido anteriormente
163     for e in range(0, compri_distancias):
164
165         # Distância mínima para cada elemento do sítio X
166         dist_min = dist[e]
167
168         # Cálculo o raio de corte
169         rcut = dist_min*1.05
170
171         # Cálculo do Cn, onde é soma o número de distâncias onde a
distância é <= ao rcut
172         cn = sum(i <= rcut for i in distancias[e])
173
174         if len(aux_b) == 1:
175             if compri_distancias == 1:
176                 if 'I' in aux_xele:
177                     CN_I.append(cn[0][0])
178                     CN_Br.append(None)
179                     CN_Cl.append(None)
180                 elif 'Br' in aux_xele:
181                     CN_I.append(None)
182                     CN_Br.append(cn[0][0])
183                     CN_Cl.append(None)
184                 else:
185                     CN_I.append(None)
186                     CN_Br.append(None)
187                     CN_Cl.append(cn[0][0])
188             if compri_distancias == 2:
189                 if 'I' in aux_xele and 'Br' in aux_xele:
190                     if e == 0:
191                         CN_I.append(cn[0][0])
192                     if e == 1:#(else)
193                         CN_Br.append(cn[0][0])
194                         CN_Cl.append(None)
195                 elif 'I' in aux_xele and 'Cl' in aux_xele:
196                     if e == 0:
197                         CN_I.append(cn[0][0])
198                         CN_Br.append(None)
199                     if e == 1:
200                         CN_Cl.append(cn[0][0])
201                 else:#(Br,Cl)
202                     if e == 0:
203                         CN_I.append(None)
```

```
204         CN_Br.append(cn[0][0])
205         if e == 1:
206             CN_Cl.append(cn[0][0])
207     if compri_distancias == 3:
208         if e == 0:
209             CN_I.append(cn[0][0])
210         elif e == 1:
211             CN_Br.append(cn[0][0])
212         else:
213             CN_Cl.append(cn[0][0])
214     else:
215     #else len(aux_b) > 1:
216         if compri_distancias == 1:
217             if 'I' in aux_xele:
218                 auxCN_I.append(cn[0][0])
219             elif 'Br' in aux_xele:
220                 auxCN_Br.append(cn[0][0])
221             else:
222                 auxCN_Cl.append(cn[0][0])
223         if compri_distancias == 2:
224             if 'I' in aux_xele and 'Br' in aux_xele:
225                 if e == 0:
226                     auxCN_I.append(cn[0][0])
227                 if e == 1: #(else)
228                     auxCN_Br.append(cn[0][0])
229             elif 'I' in aux_xele and 'Cl' in aux_xele:
230                 if e == 0:
231                     auxCN_I.append(cn[0][0])
232                 if e == 1:
233                     auxCN_Cl.append(cn[0][0])
234             else: #(Br,Cl)
235                 if e == 0:
236                     auxCN_Br.append(cn[0][0])
237                 if e == 1:
238                     auxCN_Cl.append(cn[0][0])
239         if compri_distancias == 3:
240             if e == 0:
241                 auxCN_I.append(cn[0][0])
242             elif e == 1:
243                 auxCN_Br.append(cn[0][0])
244             else:
245                 auxCN_Cl.append(cn[0][0])
246
247         if b == aux_b[-1] and e == compri_distancias - 1:
248             denominador = len(aux_b)
249             if auxCN_I:
250                 ni = sum(auxCN_I)/denominador
```

```

251         CN_I.append(ni)
252     else:
253         CN_I.append(None)
254
255     if auxCN_Br:
256         nbr = sum(auxCN_Br)/denominador
257         CN_Br.append(nbr)
258     else:
259         CN_Br.append(None)
260
261     if auxCN_Cl:
262         ncl = sum(auxCN_Cl)/denominador
263         CN_Cl.append(ncl)
264     else:
265         CN_Cl.append(None)
266
267
268
269
270     print("Fórmula:", formula)
271     print("Symbols:", symbols)
272     print("Índice_b:", aux_b)
273     print("Índice_x:", aux_xs)
274     print("Índice_a:", aux_a)
275     print("Elementos_x:", aux_xele)
276     print("CN_I:", CN_I)
277     print("CN_Br:", CN_Br)
278     print("CN_Cl:", CN_Cl)
279     print("Índice_perovskita", perovskita)
280     print("-----")

```

B.0.4 ECN

```

1 def media_distancia(symbols, aux_b, minima, atom):
2     # Definição de listas
3     aux_xCl = []# Índices do elemento Cl presentes na PVK
4     aux_xBr = []# Índices do elemento Br presentes na PVK
5     aux_xI = []# Índices do elemento I presentes na PVK
6     aux_x = []# Junção das listas anteriores com os índices
7     distancias_Cl = []# Distâncias calculadas entre (X,Cl)
8     distancias_Br = []# Distâncias calculadas entre (X,Br)
9     distancias_I = []# Distâncias calculadas entre (X,I)
10    dist = []# Mínima distância entre (X,X') com X' em Cl,Br,I
11    posi_b = []# Posições do elemento do sítio B
12    posi_x = []# Posições do elemento do sítio X
13    dist_med = []# Distância média

```

```
14     numerador_I = []# Numerador auxiliar para cálculo da distância para
15     sítio I
16     denominador_I = []# Denominador auxiliar para cálculo da distância
17     para sítio I
18     numerador_Br = []# Numerador auxiliar para cálculo da distância para
19     sítio Br
20     denominador_Br = []# Denominador auxiliar para cálculo da distância
21     para sítio Br
22     numerador_Cl = []# Numerador auxiliar para cálculo da distância para
23     sítio Cl
24     denominador_Cl = []# Denominador auxiliar para cálculo da distância
25     para sítio Cl
26
27     # for para quebrar em listas os índices do Cl,Br,I
28     for indice, elemento in enumerate(symbols):
29         if elemento == 'Cl':
30             aux_xCl.append(indice)
31         if elemento == 'Br':
32             aux_xBr.append(indice)
33         if elemento == 'I':
34             aux_xI.append(indice)
35
36     # Junção das listas em uma só
37     aux_x.append(aux_xI)
38     aux_x.append(aux_xBr)
39     aux_x.append(aux_xCl)
40
41     # for para percorrer as 3 listas com as distâncias, numerador e
42     denominador para cada elemento do sítio X
43     indc = -1
44     for x in range(0, 3):
45         aux_distancias = []
46         aux_numerador = []
47         aux_denominador = []
48
49         # if para filtrar quais elementos a PVK em análise tem no sítio
50         X e a respectiva distância mínima
51         if not aux_x[x]:
52             continue
53         else:
54             indc = indc + 1
55             dist_min = minima[indc][0][0]
56
57             # for para pegar as posições separadamente dos átomos Cl,Br,
58             I
59             for p in aux_x[x]:
60                 positions_x = atom.positions[p]
```

```
52         posi_x.append(positions_x)
53
54         # for para pegar posição de cada átomo do elemento do sítio B
55         for i in aux_b:
56             positions_b = atom.positions[i]
57             posi_b.append(positions_b)
58
59             # for para percorrer os inteiros utilizados na
60             # determinação das células vizinhas, das respectivas distâncias e o
61             # numerador e denominador para cálculo da distância média
62             for k in valor:
63                 # if == 0 colocado pois quando o valor do
64                 # inteiro é 0 obtemos 3 matrizes iguais, dessa forma temos apenas 1
65                 if k == 0:
66                     vizinho = positions_x
67                     distancia = ase.geometry.get_distances(
68                         positions_b, vizinho)
69                     aux_distancias.append(distancia[1][0][0])
70                     numerador = distancia[1][0][0] * np.exp(1 -
71                         (distancia[1][0][0] / dist_min) ** 6)
72                     denominador = np.exp(1 - (distancia[1][0][0]
73                         / dist_min) ** 6)
74                     aux_numerador.append(numerador)
75                     aux_denominador.append(denominador)
76                 else:
77                     # Aqui é pego os vizinhos, as respectivas
78                     # distâncias e o numerador e denominador para cálculo da distância média, considerando os inteiros 1 e -1
79                     for n in rede:
80                         aux = k * cell[n, :]
81                         vizinho = positions_x + aux
82                         distancia = ase.geometry.get_distances(
83                             positions_b, vizinho)
84                         aux_distancias.append(distancia
85                             [1][0][0])
86                         numerador = distancia[1][0][0] * np.exp
87                         (1 - (distancia[1][0][0] / dist_min) ** 6)
88                         denominador = np.exp(1 - (distancia
89                             [1][0][0] / dist_min) ** 6)
90                         aux_numerador.append(numerador)
91                         aux_denominador.append(denominador)
92
93             # Determinação dos 6 primeiros vizinhos para cada elemento
94             # do sítio X
95             if x == 0:
96                 seis_menores_I = sorted(enumerate(aux_distancias), key=
```

```
lambda x: x[1])[:6]
85     for posicao, numero in seis_menores_I:
86         distancias_I.append(np.array(aux_distancias[posicao
]))
87         numerador_I.append(np.array(aux_numerador[posicao]))
88         denominador_I.append(np.array(aux_denominador[
posicao]))
89     elif x == 1:
90         seis_menores_Br = sorted(enumerate(aux_distancias), key=
lambda x: x[1])[:6]
91         for posicao, numero in seis_menores_Br:
92             distancias_Br.append(np.array(aux_distancias[posicao
]))
93             numerador_Br.append(np.array(aux_numerador[posicao]
))
94             denominador_Br.append(np.array(aux_denominador[
posicao]))
95     else:
96         seis_menores_C1 = sorted(enumerate(aux_distancias), key=
lambda x: x[1])[:6]
97         for posicao, numero in seis_menores_C1:
98             distancias_C1.append(np.array(aux_distancias[posicao
]))
99             numerador_C1.append(np.array(aux_numerador[posicao]
))
100            denominador_C1.append(np.array(aux_denominador[
posicao]))
101
102     # Determinação das distâncias médias
103     if distancias_I:
104         num = np.sum(numerador_I)
105         den = np.sum(denominador_I)
106         d_med = num / den
107         dist_med.append(d_med)
108     if not distancias_I:
109         dist_med.append(None)
110     if distancias_Br:
111         num = np.sum(numerador_Br)
112         den = np.sum(denominador_Br)
113         d_med = num / den
114         dist_med.append(d_med)
115     if not distancias_Br:
116         dist_med.append(None)
117     if distancias_C1:
118         num = np.sum(numerador_C1)
119         den = np.sum(denominador_C1)
120         d_med = num / den
```

```
121     dist_med.append(d_med)
122     if not distancias_C1:
123         dist_med.append(None)
124
125     # Retorna lista com as distâncias médias na sequência I,Br,C1
126     return dist_med

1 # Conexão com o banco
2 db = connect("organometal.db")
3
4 # Definição de listas
5 atoms = []# PVK's do banco
6 perovskita = []# Índice das PVK's
7 valor = [0,-1,1]# Inteiros para determinação dos vizinhos
8 rede = [0,1,2]# Vetores de rede
9 ellex = []# Armazena qual o elemento do sítio X
10
11 # for para extrair as PVK's do banco
12 for row in db.select():
13     atoms.append(row.toatoms())
14
15 # Seleção de PVK's do banco
16 indices = [2,8,53,81,108,174,176,179,225,238]
17 atoms = [atoms[i] for i in indices]
18
19 # for para percorrer as PVK's selecionadas
20 for i, atom in enumerate(atoms):
21
22     # Fórmula da PVK
23     formula = atom.symbols
24     # Quebra da fórmula em átomos
25     symbols = atom.get_chemical_symbols()
26     perovskita.append(i+1)
27     # Traz os vetores de rede
28     cell = atom.get_cell().todict()['array']
29
30     # Definição de listas para armazenar os índices e elementos de cada
    átomo dos sítios
31     aux_b = []# Índice sítio B
32     aux_be = []# Elemento sítio B
33     aux_xs = []# Índice sítio X
34     aux_xe = []# Elemento sítio X
35     aux_a = []# Índice sítio A
36     aux_ae = []# Elemento sítio A
37
38     # Classificação dos átomos por sítio, salvando seus índices em
    listas
39     for indice, elemento in enumerate(symbols):
```

```
40     if elemento in ['Au', 'Pb', 'Sn']:
41         aux_b.append(indice)
42         aux_bele.append(elemento)
43     elif elemento in ['Cl', 'Br', 'I']:
44         aux_xs.append(indice)
45         aux_xele.append(elemento)
46     else:
47         aux_a.append(indice)
48         aux_aele.append(elemento)
49
50     # Definição de listas auxiliares para a obtenção das posições
51     posi_b = []# Sítio B
52     posi_x = []# Sítio X
53
54     # Chamando a função para pegar a mínima distância
55     minima = minima_distancia(symbols, aux_b, atom)
56
57     # Chamando a função para pegar a distância média
58     distmed = media_distancia(symbols, aux_b, minima, atom)
59
60     # Definição de listas auxiliares para confecção de gráficos
61     auxECN_I = []
62     auxECN_Br = []
63     auxECN_Cl = []
64
65     # if para determinar qual o elemento do sítio X
66     if 'Pb' in aux_bele:
67         elex.append('Pb')
68     else:
69         elex.append('Sn')
70
71     # for para pegar o positions(vetor posição) do átomo do sítio B
72     for b in aux_b:
73         # Definição de listas auxiliares para obtenção dos vizinhos e
74         # das distâncias com o sítio B e cálculo do ECN
75         aux_vizinhos_I = []
76         aux_distancias_I = []
77         aux_vizinhos_Br = []
78         aux_distancias_Br = []
79         aux_vizinhos_Cl = []
80         aux_distancias_Cl = []
81         distancias = []
82         aux_vesta_I = []
83         aux_vesta_Br = []
84         aux_vesta_Cl = []
85         ecn_vest = []
86         positions_b = atom.positions[b]
```

```
86     posi_b.append(positions_b)
87
88     # for para obter o índice do átomo do sítio x e sua respectiva
posição
89     for i, elemento in enumerate(aux_xele):
90         if elemento == 'I':
91             ind_atomo = aux_xs[i]
92             positions_x = atom.positions[ind_atomo]
93
94             # for para percorrer os inteiros utilizados na determina
ção das células vizinhas
95             for k in valor:
96                 # if == 0 colocado pois quando o valor do inteiro é
0 obtemos 3 matrizes iguais, dessa forma temos apenas 1
97                 # Determinação dos vizinhos, das respectivas distâ
ncias e do ECN parcial por sítio X em relação ao sítio B
98                 if k == 0:
99                     vizinho = positions_x
100                    distancia = ase.geometry.get_distances(
posições_b, vizinho)
101                    aux_dist_med = distmed[0]
102                    vesta = np.exp(1-(distancia[1]/aux_dist_med)**6)
103                    aux_vizinhos_I.append(vizinho)
104                    aux_distancias_I.append(distancia[1])
105                    aux_vesta_I.append(vesta)
106                    pass
107                else:
108                    # Determinação dos vizinhos, das respectivas distâ
ncias e do ECN parcial por sítio X em relação ao sítio B considerando
os inteiros 1 e -1
109                    for n in rede:
110                        aux = k*cell[n,:]
111                        vizinho = positions_x + aux
112                        distancia = ase.geometry.get_distances(
posições_b, vizinho)
113                        aux_dist_med = distmed[0]
114                        vesta = np.exp(1-(distancia[1]/aux_dist_med)
**6)
115                        aux_vizinhos_I.append(vizinho)
116                        aux_distancias_I.append(distancia[1])
117                        aux_vesta_I.append(vesta)
118
119                elif elemento == 'Br':
120                    ind_atomo = aux_xs[i]
121                    positions_x = atom.positions[ind_atomo]
122
123                for k in valor:
```

```
124         if k == 0:
125             vizinho = positions_x
126             distancia = ase.geometry.get_distances(
positions_b, vizinho)
127             aux_dist_med = distmed[1]
128             vesta = np.exp(1-(distancia[1]/aux_dist_med)**6)
129             aux_vizinhos_Br.append(vizinho)
130             aux_distancias_Br.append(distancia[1])
131             aux_vesta_Br.append(vesta)
132             pass
133         else:
134             for n in rede:
135                 aux = k*cell[n,:]
136                 vizinho = positions_x + aux
137                 distancia = ase.geometry.get_distances(
positions_b, vizinho)
138                 aux_dist_med = distmed[1]
139                 vesta = np.exp(1-(distancia[1]/aux_dist_med)
**6)
140                 aux_vizinhos_Br.append(vizinho)
141                 aux_distancias_Br.append(distancia[1])
142                 aux_vesta_Br.append(vesta)
143         else:
144             ind_atomo = aux_xs[i]
145             positions_x = atom.positions[ind_atomo]
146
147         for k in valor:
148             if k == 0:
149                 vizinho = positions_x
150                 distancia = ase.geometry.get_distances(
positions_b, vizinho)
151                 aux_dist_med = distmed[2]
152                 vesta = np.exp(1-(distancia[1]/aux_dist_med)**6)
153                 aux_vizinhos_Cl.append(vizinho)
154                 aux_distancias_Cl.append(distancia[1])
155                 aux_vesta_Cl.append(vesta)
156                 pass
157             else:
158                 for n in rede:
159                     aux = k*cell[n,:]
160                     vizinho = positions_x + aux
161                     distancia = ase.geometry.get_distances(
positions_b, vizinho)
162                     aux_dist_med = distmed[2]
163                     vesta = np.exp(1-(distancia[1]/aux_dist_med)
**6)
164                     aux_vizinhos_Cl.append(vizinho)
```

```
165         aux_distancias_Cl.append(distancia[1])
166         aux_vesta_Cl.append(vesta)
167
168     # Determinação do ECN quebrando por elemento do sítio X
169     if aux_vesta_I:
170         ecn_I = np.sum(aux_vesta_I)
171         ecn_vest.append(ecn_I)
172     if aux_vesta_Br:
173         ecn_Br = np.sum(aux_vesta_Br)
174         ecn_vest.append(ecn_Br)
175     if aux_vesta_Cl:
176         ecn_Cl = np.sum(aux_vesta_Cl)
177         ecn_vest.append(ecn_Cl)
178
179     # Determinando o número de elementos distintos do sítio X
180     # presentes na PVK para auxílio no rateio do ECN por elementos do sítio
181     # X
182     numero_de_none = distmed.count(None)
183     compri_distancias = len(distmed) - numero_de_none
184
185     # Realizando o rateio do ECN por sítio X
186     ECN_I = []# Valor ECN (X,I)
187     ECN_Br = []# Valor ECN (X,Br)
188     ECN_Cl = []# Valor ECN (X,Cl)
189
190     if len(aux_b) == 1:
191         if compri_distancias == 1:
192             if 'I' in aux_xele:
193                 ECN_I.append(ecn_vest[0])
194                 ECN_Br.append(None)
195                 ECN_Cl.append(None)
196             elif 'Br' in aux_xele:
197                 ECN_I.append(None)
198                 ECN_Br.append(ecn_vest[0])
199                 ECN_Cl.append(None)
200             else:
201                 ECN_I.append(None)
202                 ECN_Br.append(None)
203                 ECN_Cl.append(ecn_vest[0])
204         if compri_distancias == 2:
205             if 'I' in aux_xele and 'Br' in aux_xele:
206                 ECN_I.append(ecn_vest[0])
207                 ECN_Br.append(ecn_vest[1])
208                 ECN_Cl.append(None)
209             elif 'I' in aux_xele and 'Cl' in aux_xele:
210                 ECN_I.append(ecn_vest[0])
211                 ECN_Br.append(None)
```

```
210         ECN_Cl.append(ecn_vest[1])
211     else: #(Br,Cl)
212         ECN_I.append(None)
213         ECN_Br.append(ecn_vest[0])
214         ECN_Cl.append(ecn_vest[1])
215     if compri_distancias == 3:
216         ECN_I.append(ecn_vest[0])
217         ECN_Br.append(ecn_vest[1])
218         ECN_Cl.append(ecn_vest[2])
219 else:
220     #else len(aux_b) > 1:
221     if compri_distancias == 1:
222         if 'I' in aux_xele:
223             auxECN_I.append(ecn_vest[0])
224         elif 'Br' in aux_xele:
225             auxECN_Br.append(ecn_vest[0])
226         else:
227             auxECN_Cl.append(ecn_vest[0])
228     if compri_distancias == 2:
229         if 'I' in aux_xele and 'Br' in aux_xele:
230             auxECN_I.append(ecn_vest[0])
231             auxECN_Br.append(ecn_vest[1])
232         elif 'I' in aux_xele and 'Cl' in aux_xele:
233             auxECN_I.append(ecn_vest[0])
234             auxECN_Cl.append(ecn_vest[1])
235         else: #(Br,Cl)
236             auxECN_Br.append(ecn_vest[0])
237             auxECN_Cl.append(ecn_vest[1])
238     if compri_distancias == 3:
239         auxECN_I.append(ecn_vest[0])
240         auxECN_Br.append(ecn_vest[1])
241         auxECN_Cl.append(ecn_vest[2])
242
243     if b == aux_b[-1]:
244         denominador = len(aux_b)
245         if auxECN_I:
246             ni = sum(auxECN_I)/denominador
247             ECN_I.append(ni)
248         else:
249             ECN_I.append(None)
250
251         if auxECN_Br:
252             nbr = sum(auxECN_Br)/denominador
253             ECN_Br.append(nbr)
254         else:
255             ECN_Br.append(None)
256
```

```

257         if auxECN_C1:
258             ncl = sum(auxECN_C1)/denominador
259             ECN_C1.append(ncl)
260         else:
261             ECN_C1.append(None)
262
263     print("Fórmula:", formula)
264     print("Symbols:", symbols)
265     print("Índice_b:", aux_b)
266     print("Índice_x:", aux_xs)
267     print("Índice_a:", aux_a)
268     print("elementos_x:", aux_xele)
269     print("ECN_I:", ECN_I)
270     print("ECN_Br:", ECN_Br)
271     print("ECN_C1:", ECN_C1)
272     print("Índice_perovskita", perovskita)
273     print("-----")

```

B.0.5 ECN_{av}

```

1 def media_distancia(symbols, aux_b, minima, atom):
2     # Definição de listas
3     aux_xCl = [] # Índices do elemento Cl presentes na PVK
4     aux_xBr = [] # Índices do elemento Br presentes na PVK
5     aux_xI = [] # Índices do elemento I presentes na PVK
6     aux_x = [] # Junção das listas anteriores com os índices
7     distancias_Cl = [] # Distâncias calculadas entre (X,Cl)
8     distancias_Br = [] # Distâncias calculadas entre (X,Br)
9     distancias_I = [] # Distâncias calculadas entre (X,I)
10    dist = [] # Mínima distância entre (X,X') com X' em Cl,Br,
11    I
12    posi_b = [] # Posições do elemento do sítio B
13    posi_x = [] # Posições do elemento do sítio X
14    dist_med = [] # Distância média
15    numerador_I = [] # Numerador auxiliar para cálculo da distância
16    para sítio I
17    denominador_I = [] # Denominador auxiliar para cálculo da distância
18    para sítio I
19    numerador_Br = [] # Numerador auxiliar para cálculo da distância
20    para sítio Br
21    denominador_Br = [] # Denominador auxiliar para cálculo da distância
22    para sítio Br
23    numerador_Cl = [] # Numerador auxiliar para cálculo da distância
24    para sítio Cl
25    denominador_Cl = [] # Denominador auxiliar para cálculo da distância
26    para sítio Cl

```

```
21 # For para quebrar em listas os índices do Cl, Br, I
22 for indice, elemento in enumerate(symbols):
23     if elemento == 'Cl':
24         aux_xCl.append(indice)
25     if elemento == 'Br':
26         aux_xBr.append(indice)
27     if elemento == 'I':
28         aux_xI.append(indice)
29
30 # Junção das listas em uma só
31 aux_x.append(aux_xI)
32 aux_x.append(aux_xBr)
33 aux_x.append(aux_xCl)
34
35 # For para percorrer as 3 listas com as distâncias, numerador e
denominador para cada elemento do sítio X
36 indc = -1
37 for x in range(0, 3):
38     aux_distancias = []
39     aux_numerador = []
40     aux_denominador = []
41
42     # If para filtrar quais elementos a PVK em análise tem no sítio
X e a respectiva distância mínima
43     if not aux_x[x]:
44         continue
45     else:
46         indc += 1
47         dist_min = minima[indc]
48
49     # For para pegar as posições separadamente dos átomos Cl, Br
, I
50     for p in aux_x[x]:
51         positions_x = atom.positions[p]
52         posi_x.append(positions_x)
53
54     # For para pegar posição de cada átomo do elemento do sí
tio B
55     for i in aux_b:
56         positions_b = atom.positions[i]
57         posi_b.append(positions_b)
58
59     # For para percorrer os inteiros utilizados na
determinação das células vizinhas, das respectivas distâncias e o
numerador e denominador para cálculo da distância média
60     for k in valor:
61         # If == 0 colocado pois quando o valor do
```

```

inteiro é 0 obtemos 3 matrizes iguais, dessa forma temos apenas 1
62         if k == 0:
63             vizinho = positions_x
64             distancia = ase.geometry.get_distances(
positions_b, vizinho)
65             aux_distancias.append(distancia[1][0][0])
66             numerador = distancia[1][0][0] * np.exp(1 -
(distancia[1][0][0] / dist_min) ** 6)
67             denominador = np.exp(1 - (distancia[1][0][0]
/ dist_min) ** 6)
68             aux_numerador.append(numerador)
69             aux_denominador.append(denominador)
70         else:
71             # Aqui é pego os vizinhos, as respectivas
distâncias e o numerador e denominador para cálculo da distância mé
dia, considerando os inteiros 1 e -1
72             for n in rede:
73                 aux = k * cell[n, :]
74                 vizinho = positions_x + aux
75                 distancia = ase.geometry.get_distances(
positions_b, vizinho)
76                 aux_distancias.append(distancia
[1][0][0])
77                 numerador = distancia[1][0][0] * np.exp
(1 - (distancia[1][0][0] / dist_min) ** 6)
78                 denominador = np.exp(1 - (distancia
[1][0][0] / dist_min) ** 6)
79                 aux_numerador.append(numerador)
80                 aux_denominador.append(denominador)
81
82             # Determinação das distâncias e do numerador/denominador por
elemento do sítio X para cálculo da distância média
83             if x == 0:
84                 distancias_I.append(np.array(aux_distancias))
85                 numerador_I.append(np.array(aux_numerador))
86                 denominador_I.append(np.array(aux_denominador))
87             elif x == 1:
88                 distancias_Br.append(np.array(aux_distancias))
89                 numerador_Br.append(np.array(aux_numerador))
90                 denominador_Br.append(np.array(aux_denominador))
91             else:
92                 distancias_Cl.append(np.array(aux_distancias))
93                 numerador_Cl.append(np.array(aux_numerador))
94                 denominador_Cl.append(np.array(aux_denominador))
95
96             # Determinação das distâncias médias
97             if distancias_I:

```

```
98     num = np.sum(numerador_I)
99     den = np.sum(denominador_I)
100    d_med = num / den
101    dist_med.append(d_med)
102    if distancias_Br:
103        num = np.sum(numerador_Br)
104        den = np.sum(denominador_Br)
105        d_med = num / den
106        dist_med.append(d_med)
107    if distancias_Cl:
108        num = np.sum(numerador_Cl)
109        den = np.sum(denominador_Cl)
110        d_med = num / den
111        dist_med.append(d_med)
112
113    # Retorna lista com as distâncias médias na sequência I,Br,Cl
114    return dist_med

1 # Conexão com o banco
2 db = connect("organometal.db")
3
4 # Definição de listas
5 atoms = [] # PVK's do banco
6 perovskita = [] # Índice das PVK's
7 valor = [0,-1,1] # Inteiros para determinação dos vizinhos
8 rede = [0,1,2] # Vetores de rede
9 elcx = [] # Armazena qual o elemento do sítio X
10
11 # for para extrair as PVK's do banco
12 for row in db.select():
13     atoms.append(row.toatoms())
14
15 # Seleção de PVK's do banco
16 indices = [2,8,53,81,108,174,176,179,225,238]
17 atoms = [atoms[i] for i in indices]
18
19 # for para percorrer as PVK's selecionadas
20 for i, atom in enumerate(atoms):
21
22     # Fórmula da PVK
23     formula = atom.symbols
24     # Quebra da fórmula em átomos
25     symbols = atom.get_chemical_symbols()
26     perovskita.append(i+1)
27     # Traz os vetores de rede
28     cell = atom.get_cell().todict()['array']
29
30     # Definição de listas para armazenar os índices e elementos de cada
```

```
átomo dos sítios
31 aux_b = []# Índice sítio B
32 aux_belev = []# Elemento sítio B
33 aux_xs = []# Índice sítio X
34 aux_xele = []# Elemento sítio X
35 aux_a = []# Índice sítio A
36 aux_aele = []# Elemento sítio A
37
38 # Classificação dos átomos por sítio, salvando seus índices em
listas
39 for indice, elemento in enumerate(symbols):
40     if elemento in ['Au', 'Pb', 'Sn']:
41         aux_b.append(indice)
42         aux_belev.append(elemento)
43     elif elemento in ['Cl', 'Br', 'I']:
44         aux_xs.append(indice)
45         aux_xele.append(elemento)
46     else:
47         aux_a.append(indice)
48         aux_aele.append(elemento)
49
50 # Definição de listas auxiliares para a obtenção das posições
51 posi_b = []# Sítio B
52 posi_x = []# Sítio X
53
54 # Chamando a função para pegar a mínima distância
55 minima = minima_distancia(symbols, aux_b, atom)
56 minima = [arr[0][0] for arr in minima]
57
58 # Listas para auxiliar no cálculo da distância média autoconsistente
59 aux_distmedBr = []
60 aux_distmedI = []
61 aux_distmedCl = []
62
63 # While para calcular a distância média autoconsistente
64 result = 'false'
65 while (result == 'false'):
66     distmed0 = media_distancia(symbols, aux_b, minima, atom)
67
68     distmed1 = media_distancia(symbols, aux_b, distmed0, atom)
69
70     comp = len(distmed1)
71
72     if comp == 1:
73         if 'I' in aux_xele:
74             if distmed1[0] - distmed0[0] < 0.00010:
75                 result = 'true'
```

```
76         distmed = [distmed1[0], None, None]
77     else:
78         result = 'false'
79         minima = distmed1
80     elif 'Br' in aux_xele:
81         if distmed1[0] - distmed0[0] < 0.00010:
82             result = 'true'
83             distmed = [None, distmed1[0], None]
84         else:
85             result = 'false'
86             minima = distmed1
87     else:
88         if distmed1[0] - distmed0[0] < 0.00010:
89             result = 'true'
90             distmed = [None, None, distmed1[0]]
91         else:
92             result = 'false'
93             minima = distmed1
94     elif comp == 2:
95         if 'I' in aux_xele and 'Br' in aux_xele:
96             if distmed1[0] - distmed0[0] < 0.00010:
97                 resultI = 'true'
98                 aux_distmedI.append(distmed1[0])
99             else:
100                 resultI = 'false'
101                 minima = distmed1
102
103         if distmed1[1] - distmed0[1] < 0.00010:
104             resultBr = 'true'
105             aux_distmedBr.append(distmed1[1])
106         else:
107             resultBr = 'false'
108             minima = distmed1
109
110         if resultI == 'true' and resultBr == 'true':
111             result = 'true'
112             distmed = [aux_distmedI[0], aux_distmedBr[0], None]
113         else:
114             result = 'false'
115     elif 'I' in aux_xele and 'Cl' in aux_xele:
116         if distmed1[0] - distmed0[0] < 0.00010:
117             resultI = 'true'
118             aux_distmedI.append(distmed1[0])
119         else:
120             resultI = 'false'
121             minima = distmed1
122
```

```
123         if distmed1[1] - distmed0[1] < 0.00010:
124             resultC1 = 'true'
125             aux_distmedC1.append(distmed1[1])
126         else:
127             resultC1 = 'false'
128             minima = distmed1
129
130         if resultI == 'true' and resultC1 == 'true':
131             result = 'true'
132             distmed = [aux_distmedI[0], None, aux_distmedC1[0]]
133         else:
134             result = 'false'
135     else: #(Br,C1)
136         if distmed1[0] - distmed0[0] < 0.00010:
137             resultBr = 'true'
138             aux_distmedBr.append(distmed1[0])
139         else:
140             resultBr = 'false'
141             minima = distmed1
142
143         if distmed1[1] - distmed0[1] < 0.00010:
144             resultC1 = 'true'
145             aux_distmedC1.append(distmed1[1])
146         else:
147             resultC1 = 'false'
148             minima = distmed1
149
150         if resultBr == 'true' and resultC1 == 'true':
151             result = 'true'
152             distmed = [None, aux_distmedBr[0], aux_distmedC1[0]]
153         else:
154             result = 'false'
155     else: #compri_distancias == 3:
156         if distmed1[0] - distmed0[0] < 0.00010:
157             resultI = 'true'
158             aux_distmedI.append(distmed1[0])
159         else:
160             resultI = 'false'
161             minima = distmed1
162
163         if distmed1[1] - distmed0[1] < 0.00010:
164             resultBr = 'true'
165             aux_distmedBr.append(distmed1[1])
166         else:
167             resultBr = 'false'
168             minima = distmed1
169
```

```
170
171         if distmed1[2] - distmed0[2] < 0.00010:
172             resultCl = 'true'
173             aux_distmedCl.append(distmed1[2])
174         else:
175             resultCl = 'false'
176             minima = distmed1
177
178         if resultI == 'true' and resultBr == 'true' and resultCl ==
179         'true':
180             result = 'true'
181             distmed = [aux_distmedI[0], aux_distmedBr[0],
182             aux_distmedCl[0]]
183         else:
184             result = 'false'
185
186     # Definição de listas auxiliares para confecção de gráficos
187     auxECN_I = []
188     auxECN_Br = []
189     auxECN_Cl = []
190
191     # if para determinar qual o elemento do sítio X
192     if 'Pb' in aux_bele:
193         elex.append('Pb')
194     else:
195         elex.append('Sn')
196
197     # for para pegar o positions(vetor posição) do átomo do sítio B
198     for b in aux_b:
199         # Definição de listas auxiliares para obtenção dos vizinhos e
200         # das distâncias com o sítio B e cálculo do ECN
201         aux_vizinhos_I = []
202         aux_distancias_I = []
203         aux_vizinhos_Br = []
204         aux_distancias_Br = []
205         aux_vizinhos_Cl = []
206         aux_distancias_Cl = []
207         distancias = []
208         aux_av_I = []
209         aux_av_Br = []
210         aux_av_Cl = []
211         ecn_av = []
212         positions_b = atom.positions[b]
213         posi_b.append(positions_b)
214
215     # for para obter o índice do átomo do sítio x e sua respectiva
216     # posição
```

```
213     for i, elemento in enumerate(aux_xele):
214         if elemento == 'I':
215             ind_atomo = aux_xs[i]
216             positions_x = atom.positions[ind_atomo]
217
218             # for para percorrer os inteiros utilizados na determina
219             ção das células vizinhas
220             for k in valor:
221                 # if == 0 colocado pois quando o valor do inteiro é 0
222                 obtemos 3 matrizes iguais, dessa forma temos apenas 1
223                 # Determinação dos vizinhos, das respectivas distâncias
224                 e do ECN parcial por sítio X em relação ao sítio B
225                 if k == 0:
226                     vizinho = positions_x
227                     distancia = ase.geometry.get_distances(
228                     positions_b, vizinho)
229                     aux_dist_med = distmed[0]
230                     cord = np.exp(1-(distancia[1]/aux_dist_med)**6)
231                     aux_vizinhos_I.append(vizinho)
232                     aux_distancias_I.append(distancia[1])
233                     aux_av_I.append(cord)
234                     pass
235                 else:
236                     # Determinação dos vizinhos, das respectivas distâ
237                     ncias e do ECN parcial por sítio X em relação ao sítio B considerando
238                     os inteiros 1 e -1
239                     for n in rede:
240                         aux = k*cell[n,:]
241                         vizinho = positions_x + aux
242                         distancia = ase.geometry.get_distances(
243                         positions_b, vizinho)
244                         aux_dist_med = distmed[0]
245                         cord = np.exp(1-(distancia[1]/aux_dist_med)
246                         **6)
247                         aux_vizinhos_I.append(vizinho)
248                         aux_distancias_I.append(distancia[1])
249                         aux_av_I.append(cord)
250
251             elif elemento == 'Br':
252                 ind_atomo = aux_xs[i]
253                 positions_x = atom.positions[ind_atomo]
254
255                 for k in valor:
256                     if k == 0:
257                         vizinho = positions_x
258                         distancia = ase.geometry.get_distances(
259                         positions_b, vizinho)
```

```
251         aux_dist_med = distmed[1]
252         cord = np.exp(1-(distancia[1]/aux_dist_med)**6)
253         aux_vizinhos_Br.append(vizinho)
254         aux_distancias_Br.append(distancia[1])
255         aux_av_Br.append(cord)
256         pass
257     else:
258         for n in rede:
259             aux = k*cell[n,:]
260             vizinho = positions_x + aux
261             distancia = ase.geometry.get_distances(
positions_b, vizinho)
262             aux_dist_med = distmed[1]
263             cord = np.exp(1-(distancia[1]/aux_dist_med)
**6)
264             aux_vizinhos_Br.append(vizinho)
265             aux_distancias_Br.append(distancia[1])
266             aux_av_Br.append(cord)
267
268     else:
269         ind_atomo = aux_xs[i]
270         positions_x = atom.positions[ind_atomo]
271
272         for k in valor:
273             if k == 0:
274                 vizinho = positions_x
275                 distancia = ase.geometry.get_distances(
positions_b, vizinho)
276                 aux_dist_med = distmed[2]
277                 cord = np.exp(1-(distancia[1]/aux_dist_med)**6)
278                 aux_vizinhos_Cl.append(vizinho)
279                 aux_distancias_Cl.append(distancia[1])
280                 aux_av_Cl.append(cord)
281                 pass
282             else:
283                 for n in rede:
284                     aux = k*cell[n,:]
285                     vizinho = positions_x + aux
286                     distancia = ase.geometry.get_distances(
positions_b, vizinho)
287                     aux_dist_med = distmed[2]
288                     cord = np.exp(1-(distancia[1]/aux_dist_med)
**6)
289                     aux_vizinhos_Cl.append(vizinho)
290                     aux_distancias_Cl.append(distancia[1])
291                     aux_av_Cl.append(cord)
292
```

```
293     # Determinação do ECN quebrando por elemento do sítio X
294     if aux_av_I:
295         ecn_I = np.sum(aux_av_I)
296         ecn_av.append(ecn_I)
297     if aux_av_Br:
298         ecn_Br = np.sum(aux_av_Br)
299         ecn_av.append(ecn_Br)
300     if aux_av_Cl:
301         ecn_Cl = np.sum(aux_av_Cl)
302         ecn_av.append(ecn_Cl)
303
304     # Determinando o número de elementos distintos do sítio X
presentes na PVK para auxílio no rateio do ECN por elementos do sítio
X
305     numero_de_none = distmed.count(None)
306     compri_distancias = len(distmed) - numero_de_none
307
308     # Realizando o rateio do ECN por sítio X
309     ECN_I = []# Valor ECN (X,I)
310     ECN_Br = []# Valor ECN (X,Br)
311     ECN_Cl = []# Valor ECN (X,Cl)
312
313     if len(aux_b) == 1:
314         if compri_distancias == 1:
315             if 'I' in aux_xele:
316                 ECN_I.append(ecn_av[0])
317                 ECN_Br.append(None)
318                 ECN_Cl.append(None)
319             elif 'Br' in aux_xele:
320                 ECN_I.append(None)
321                 ECN_Br.append(ecn_av[0])
322                 ECN_Cl.append(None)
323             else:
324                 ECN_I.append(None)
325                 ECN_Br.append(None)
326                 ECN_Cl.append(ecn_av[0])
327         if compri_distancias == 2:
328             if 'I' in aux_xele and 'Br' in aux_xele:
329                 ECN_I.append(ecn_av[0])
330                 ECN_Br.append(ecn_av[1])
331                 ECN_Cl.append(None)
332             elif 'I' in aux_xele and 'Cl' in aux_xele:
333                 ECN_I.append(ecn_av[0])
334                 ECN_Br.append(None)
335                 ECN_Cl.append(ecn_av[1])
336             else: #(Br,Cl)
337                 ECN_I.append(None)
```

```
338         ECN_Br.append(ecn_av[0])
339         ECN_Cl.append(ecn_av[1])
340     if compri_distancias == 3:
341         ECN_I.append(ecn_av[0])
342         ECN_Br.append(ecn_av[1])
343         ECN_Cl.append(ecn_av[2])
344     else:
345         #else len(aux_b) > 1:
346         if compri_distancias == 1:
347             if 'I' in aux_xele:
348                 auxECN_I.append(ecn_av[0])
349             elif 'Br' in aux_xele:
350                 auxECN_Br.append(ecn_av[0])
351             else:
352                 auxECN_Cl.append(ecn_av[0])
353         if compri_distancias == 2:
354             if 'I' in aux_xele and 'Br' in aux_xele:
355                 auxECN_I.append(ecn_av[0])
356                 auxECN_Br.append(ecn_av[1])
357             elif 'I' in aux_xele and 'Cl' in aux_xele:
358                 auxECN_I.append(ecn_av[0])
359                 auxECN_Cl.append(ecn_av[1])
360             else: #(Br, Cl)
361                 auxECN_Br.append(ecn_av[0])
362                 auxECN_Cl.append(ecn_av[1])
363         if compri_distancias == 3:
364             auxECN_I.append(ecn_av[0])
365             auxECN_Br.append(ecn_av[1])
366             auxECN_Cl.append(ecn_av[2])
367
368     if b == aux_b[-1]:
369         denominador = len(aux_b)
370         if auxECN_I:
371             ni = sum(auxECN_I)/denominador
372             ECN_I.append(ni)
373         else:
374             ECN_I.append(None)
375
376         if auxECN_Br:
377             nbr = sum(auxECN_Br)/denominador
378             cnbr = nbr
379             ECN_Br.append(cnbr)
380         else:
381             ECN_Br.append(None)
382
383         if auxECN_Cl:
384             ncl = sum(auxECN_Cl)/denominador
```

```
385         ECN_C1.append(nc1)
386     else:
387         ECN_C1.append(None)
388
389
390
391
392     print("Fórmula:", formula)
393     print("Symbols:", symbols)
394     print("Índice_b:", aux_b)
395     print("Índice_x:", aux_xs)
396     print("Índice_a:", aux_a)
397     print("Elementos_x:", aux_xele)
398     print("ECNav_I:", ECN_I)
399     print("ECNav_Br:", ECN_Br)
400     print("ECNav_C1:", ECN_C1)
401     print("Índice_perovskita", perovskita)
402     print("-----")
```

APÊNDICE C – Gráficos

C.0.1 Barras Empilhadas

Devido ao número de PVK's e consequente dificuldade em exposição, foi feita a quebra em intervalos de 60 materiais.

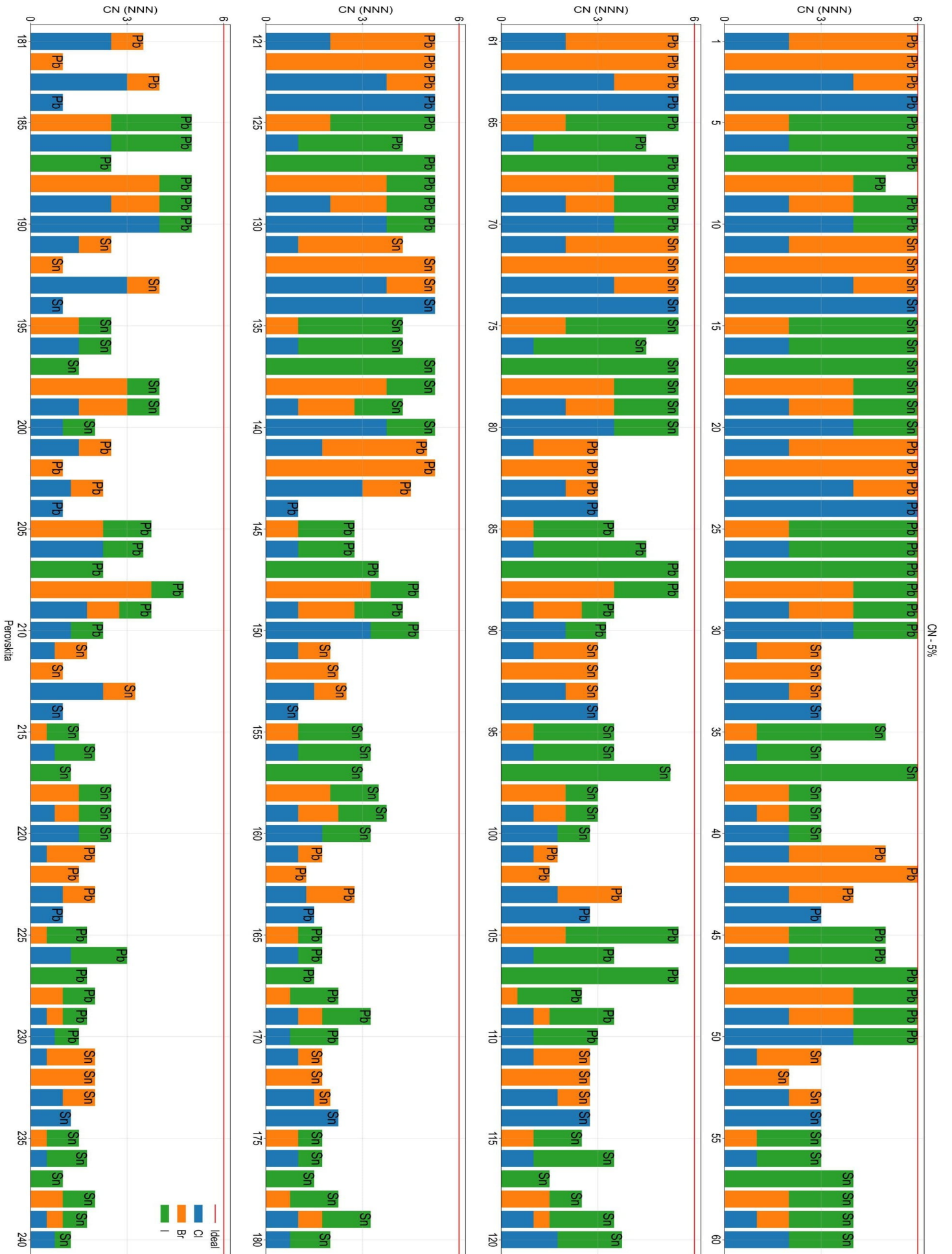
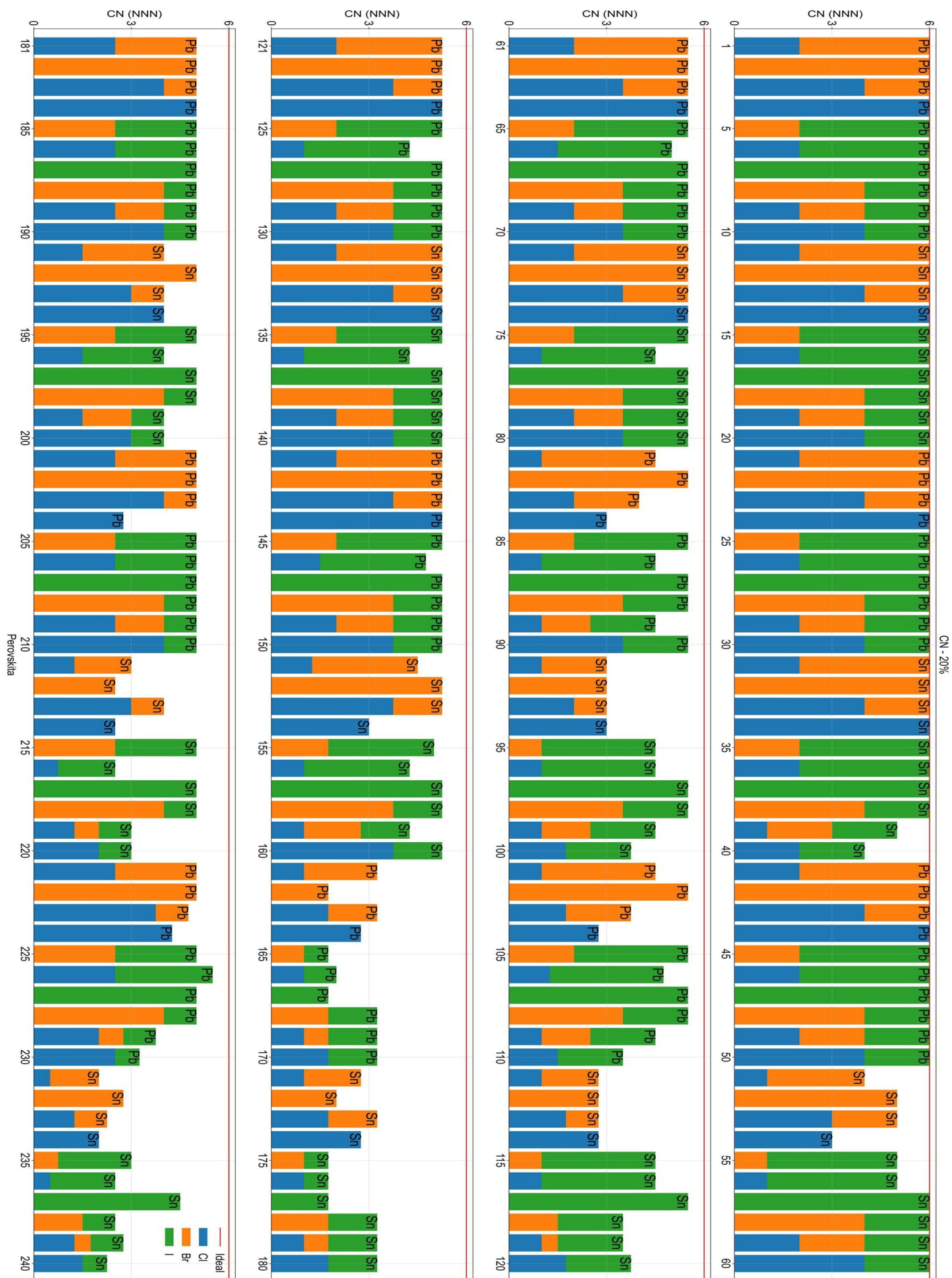


Figura C.1 – CN - 5%.



Figura C.2 – CN - 10%.



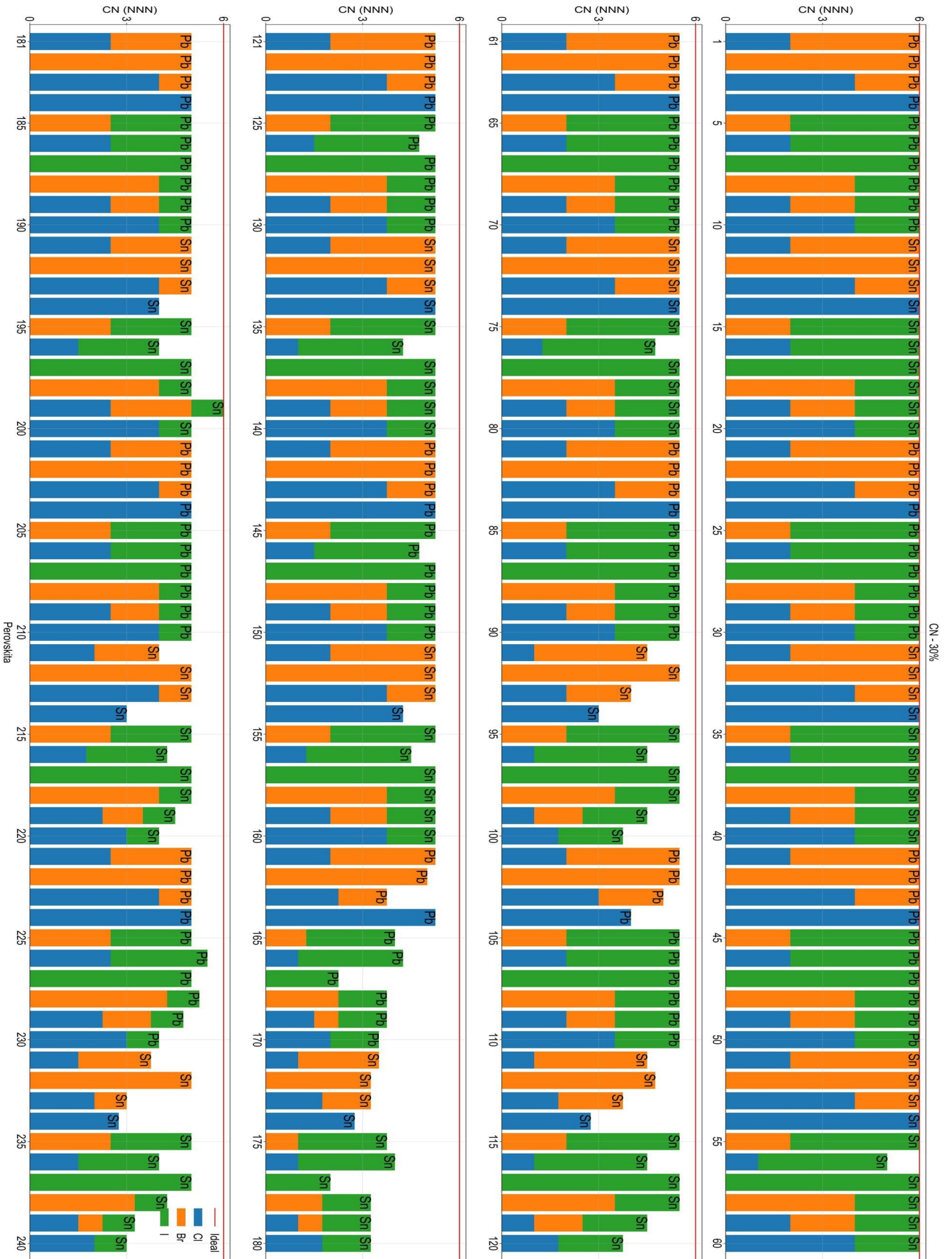


Figura C.4 – CN - 30%.

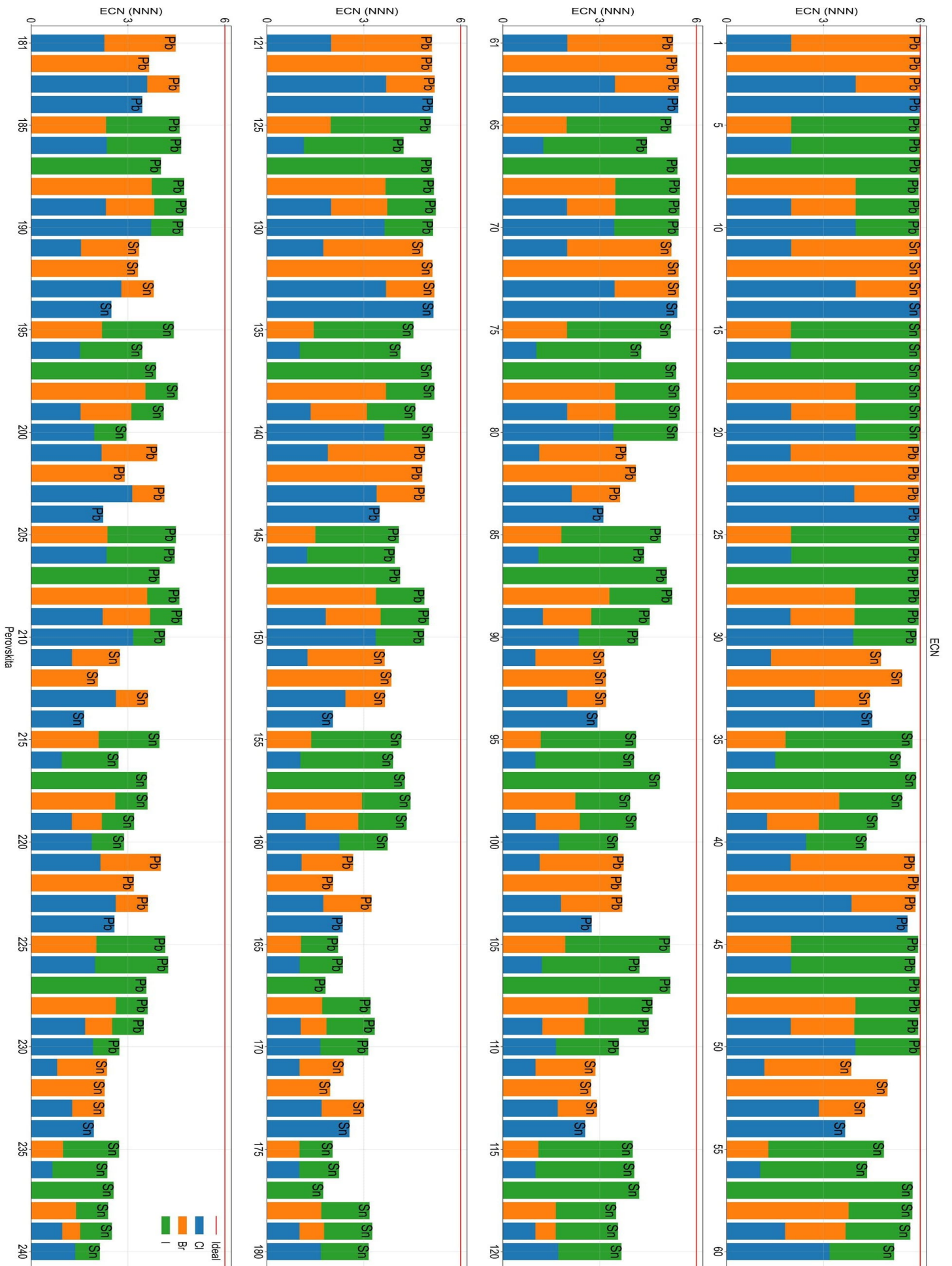


Figura C.5 – ECN.

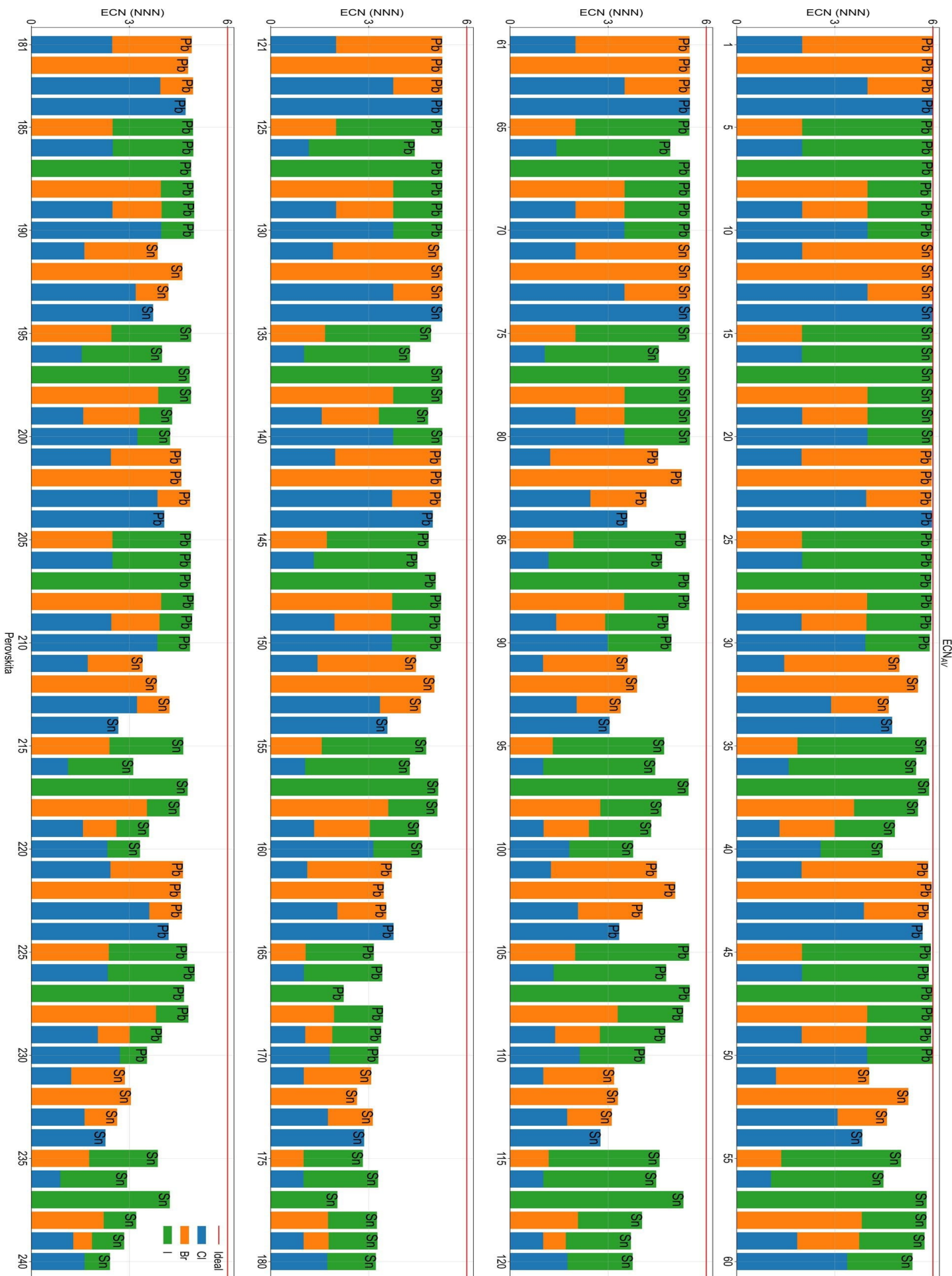


Figura C.6 – ECN_{av}.